



RAPORT DE EXPERTIZĂ TEHNICĂ - STRUCTURĂ

| | |
|-------------------------------|--|
| <i>Obiectiv:</i> | <i>Renovarea energetică a Liceului „Voievodul Mircea” din Târgoviște pentru corpul de cladire C6</i> |
| <i>Titularul investiției:</i> | <i>Municipiul Targoviste</i> |
| <i>Amplasament:</i> | <i>Bvd. Regele Carol I, nr. 70, Municipiul Targoviste, județul Dambovita</i> |
| <i>Proiectant general:</i> | <i>Icon Development & Maintenance SRL</i> |

EXPERT TEHNIC ATESTAT,
DR. ING. CAPATINA V. DAN GEORGE



SEPTEMBRIE 2022

CUPRINS

| | | |
|---------|---|----|
| 1. | Obiectul expertizei tehnice | 6 |
| 2. | Activități desfășurate pentru întocmirea expertizei | 6 |
| 3. | Date care au stat la baza expertizării tehnice | 7 |
| 4. | Reglementări tehnice avute în vedere | 7 |
| 5. | Condiții de amplasament | 8 |
| 5.1. | Condiții climatice – Zăpadă..... | 8 |
| 5.2. | Condiții climatice – Vânt | 9 |
| 5.3. | adâncimea maxima de îngheț..... | 9 |
| 5.4. | Clasa de importanță-expunere | 9 |
| 5.5. | Categoria de importanță | 10 |
| 6. | Descrierea construcțiilor existente..... | 10 |
| 6.1. | Amplasament/Adresa/Vecinătăți imobil studiat:..... | 10 |
| 6.2. | Descrierea construcțiilor existente din punct de vedere arhitectural | 11 |
| 6.3. | Descrierea construcțiilor existente din punct de vedere structural | 12 |
| 6.3.1. | Suprastructura | 12 |
| 6.3.2. | Infrastructura..... | 12 |
| 6.4. | Date privind starea fizică a construcției..... | 12 |
| 7. | LISTĂ DE LUCRĂRI ELIGIBILE PENTRU CREȘTEREA EFICIENTEI ENERGETICE..... | 14 |
| 8. | Precizarea obiectivelor de performanță..... | 14 |
| 9. | Stabilirea nivelului de cunoaștere | 15 |
| 10. | Evaluarea structurii existente | 16 |
| 10.1. | Evaluarea calitativă cu metodologia de nivel 2 (MN2)..... | 17 |
| 10.1.1. | R1- Gradul de îndeplinire a condițiilor de alcătuire seismică..... | 17 |
| 10.1.2. | R2 – gradul de afectare structurală | 19 |
| 10.1.3. | Evaluarea cantitativă prin calcul - gradului de asigurare seismică R3 | 19 |
| 10.2. | Sinteza Evaluării și incadrarea în clase de risc seismic | 19 |
| 11. | Masuri de intervenție | 21 |
| 12. | Concluzii..... | 23 |
| 13. | Anexa A – Breviar de calcul..... | 25 |
| 14. | Anexa B - Documentar foto..... | 38 |
| 15. | Anexa C - Relevée | 41 |
| 16. | Anexa D – Raport de dezveliri la fundații..... | 45 |

COLECTIV DE ELABORARE

Dr. Ing. CAPATINA V. DAN GEORGE
Expert tehnic atestat MDRAP



Ing. VASILE TIMOTEI

A handwritten signature in blue ink, appearing to read "Vasile Timotei".

| RAPORT SINTETIC | | | | | |
|--|---|--|---------------------------------|--|--|
| Obiectiv: | Renovarea energetică a Liceului „Voievodul Mircea” din Târgoviște pentru corpurile de clădire C6 | | | | |
| Adresa: | Bld. Regele Carol I, nr. 70, Municipiu Targoviste, județul Dambovita | | | | |
| Beneficiar: | Municipiu Targoviste | | | | |
| Scopul expertizei: | Evaluarea stării tehnice a construcției și încadrarea în clasa de risc seismic | | | | |
| Data expertizei | Septembrie 2022 | | | | |
| Expert tehnic | Dr. Ing. Capatina V. Dan George | Legitimatie | Nr. 74/1992 | | |
| Caracteristici amplasament | | | | | |
| Clasa de importanță | Conform P100-1/ 2013: II | | | | |
| Categoria de importanță | „C”= Importanță normală | | | | |
| Încărcare din zăpadă: | $s_{0,k}=2.0 \text{ kN/mp}$ | | | | |
| Accelerație teren: | ag=0,24g | P100-3 / 2019 – Normativ pentru evaluarea seismică a clădirilor existente (IMR = 100 – siguranță vieții) | | | |
| | ag=0,30 g | P100-1 / 2013 – Cod de proiectare seismică, aplicabil la construcții noi (IMR = 225 ani) | | | |
| Perioadă de colț: | Tc=1.0 s | | | | |
| Caracteristici generale construcție | | | | | |
| Anul construcției | 1923 | | | | |
| Destinație actuală | Scoală | | | | |
| Regim de înălțime | Sp+P+2E | | Înălțime supraterana (m) 19 | | |
| Suprafața construită (mp) | 1602 | | Suprafața desfășurată (mp) 4806 | | |
| Caracteristici structurale actuale | | | | | |
| Structură de rezistență | Initial zidarie nearmata; clădirea a fost consolidata în 1997: <ul style="list-style-type: none"> - Tronsonarea clădirii în 5 coruri separate prin rost vertical; - Introducerea a cate doi pereti din beton armat la capetele tronsoanelor de legătură; - Camasuirea peretilor tronsoanelor de la extremitatile clădirii; - Refacerea planseului peste etajul 2 și a sarpantei, afectate în urma unui incendiu la acoperis | | | | |
| Fundații | A fost pusă în evidență o fundație din caramida, cu înălțimea de 1.30 m măsurată față de cota terenului natural, care reazema pe o talpa de beton evazată cu 15 cm față de caramida, și cu înălțimea de 50 cm | | | | |
| Plansăe | Plansăe din beton armat | | | | |
| Componente nestructurale | Zidărie | | | | |
| Acoperiș | Sarpanță de lemn | | | | |
| Identificarea nivelului de cunoaștere și metodologia de evaluare | | | | | |
| Nivel de cunoaștere | KL1 | | | | |
| Metodologia de evaluare | Metodologia 2 | | | | |
| Factor de încredere | 1.35 | | | | |
| Gradul de îndeplinire a condițiilor de alcătuire seismică, R1: | 76 | | | | |
| Gradul de afectare structurală, R2: | 80 | | | | |
| Gradul de asigurare structurală seismică, R3: | Tronson 1: 65%-89% Tronson 2: 35% Tronson 3: 45% Tronson 4: 35% Tronson 5: 65%-89% | | | | |
| Clasa de risc seismic în care a fost încadrată construcția: | RsII | | | | |
| Descrierea clasei de risc seismic | Clasa din care fac parte clădirile susceptibile de avariare majoră la acțiunea cutremurului de proiectare corespunzător Stării Limită Ultime, care pune în pericol siguranța utilizatorilor, dar la care prăbușirea totală sau parțială este puțin probabilă. | | | | |
| Concluzii | <ul style="list-style-type: none"> - În ceea ce privește tronsoanele 2, 3, 4, Expertul consideră că pentru structura de rezistență sunt necesare măsuri de consolidare, care condiționează realizarea lucrărilor de reabilitare propuse; | | | | |

– În ceea ce privește structura de rezistență a tronsoanelor 1 și 5, nu sunt necesare măsuri de consolidare, care ar putea condiționa realizarea lucrărilor de reabilitare propuse. Însă lucrările propuse se pot efectua după realizarea lucrărilor de consolidare la tronsoanele 2, 3, 4.

– Măsurile de intervenție propuse sunt:

• Varianta minimală:

- tronson 2: P7, P8, P18 – camasuire pe ambele parti
- tronson 3: P5, P6, P14, P15, P16, P17, P18 – camasuire pe ambele parti
- tronson 4: P7, P8, P18 – camasuire pe ambele parti

În urma implementării variantei minime, se obțin tronsoane încadrate în clasa de risc seismic RslII.

• Varianta maximă:

- tronson 2: P7, P8, P18 – pe ambele parti, respectiv P1, P2, P3, P4, P5, P6, P10, P11, P12, P13, P14, P15, P16 – pe fața interioară
- tronson 3: P5, P6, P14, P15, P16, P17, P18 – pe ambele parti, respectiv P1, P2, P3, P4, P7, P8, P9, P10, P11, P12, P13, P19, P20, P21 – pe fața interioară
- tronson 4: P7, P8, P18 – pe ambele parti, respectiv P1, P2, P3, P4, P5, P6, P10, P11, P12, P13, P14, P15, P16 – pe fața interioară

În urma implementării variantei maxime, se obțin tronsoane încadrate în clasa de risc seismic RslIV.

(vinetele cu etichetele peretilor pentru cele 3 tronsoane ce trebuie consolidate se regăsesc în anexa A – Breviar de calcul.)



Subsemnatul dr. ing. Capatina V. Dan George, în calitate de expert tehnic atestat de către MDRAP cu legitimația nr. 74/1992, în conformitate cu Hotărârea Guvernului României nr. 731 / 199, pentru cerințele de rezistență și stabilitate (A1,A2, A3) în domeniile construcții civile cu structură din beton, beton armat, zidărie, metal și lemn, din domeniul clădirilor civile, industriale și agricole, am fost solicitat pentru expertizarea tehnică a corpului C6 din incinta Liceului „Voievodul Mircea”, amplasat în Blvd. Regele Carol I, nr. 70, Târgoviște, din cadrul proiectului „Renovarea energetică a Liceului „Voievodul Mircea” din Târgoviște pentru corpurile de clădire C1, C2, C3, C4, C6, C12, C13, C14, C16 , C17, C18”.

1. OBIECTUL EXPERTIZEI TEHNICE

Raportul de expertiză are ca obiect expertizarea tehnică a corpului C6 al Liceului „Voievodul Mircea” amplasat în Municipiul Târgoviște, Bulevardul Regele Carol I, nr. 70, județul Dâmbovița în vederea evaluării stării tehnice a clădirii, incadrarea în clasa de risc seismic precum și disponerea eventualelor măsurilor care se impun pentru creșterea gradului de protecție la încarcări gravitaționale și la acțiuni seismice.

Expertizarea are scopul de a stabili nivelul actual de siguranță al construcției sub efectul diferitor acțiuni, verificând respectarea prevederilor din normativele în vigoare și determinând necesitatea efectuarii unor intervenții pentru aducerea construcției la un nivel de siguranță acceptabil.

Raportul de expertiză conține:

- aprecieri privind starea de degradare a construcțiilor;
- constatări privind alcătuirea structurii de rezistență a clădirii
- evaluarea nivelului de protecție la încărcări gravitaționale și la acțiuni seismice;
- determinarea gradului de asigurare la seism conform codului de proiectare partea III-a- Prevederi pentru evaluarea seismică a clădirilor existente, indicativ P100-3/2019.
- propunerile de intervenție cu definirea măsurilor care se impun în vederea creșterii nivelului de asigurare seismică (dacă este cazul).
- recomandări privind tipul și anvergura lucrărilor de intervenție conform P100-3/2019 cap.3.4. alin (5).

Necesitatea elaborării expertizei tehnice, este dictată de Legea 282/2015 – pentru modificarea și completarea OG nr. 20 / 1994 privind măsuri pentru reducerea riscului seismic; Hotărârea nr. 742/2018 privind modificarea Hotărârii Guvernului nr. 925/1995 pentru aprobarea Regulamentului de verificare și expertizare tehnică de calitate a proiectelor, a execuției lucrărilor și a construcțiilor și Legea nr. nr. 10 / 1995 privind calitatea în construcții, modificata și completata în 2015 în care menționează preocuparea sistematică a tuturor deținătorilor de clădiri privind evaluarea nivelurilor de performanță al clădirilor existente în vederea reducerii riscului seismic (nivelul de performanță de limitarea degradărilor, nivelul de performanță siguranță vieții și nivelul de performanță prevenirea prăbușirii) .

Prin Ordinul Ministerului Dezvoltării regionale și Administrației Publice nr. 2834 din 09.10.2019 s-a aprobat reglementarea tehnică “ Cod de proiectare seismică-Partea III-a- Prevederi pentru evaluarea seismică a clădirilor existente, indicativ P 100-3/2019”, care a intrat în vigoare la data de 13.12.2019, data publicării în Monitorul Oficial.

Obiectul Codului de proiectare seismică - Partea a III-a - Prevederi pentru evaluarea seismică a clădirilor existente, indicativ P 100-3/2019 este stabilirea unor criterii și proceduri pentru evaluarea seismică a clădirilor existente și, după caz, fundamentarea lucrărilor de intervenție pentru reducerea vulnerabilității seismică a acestora.

Expertiza s-a efectuat în conformitate cu prevederile Legii nr. 10/1995 și H.G.R. 925/1995 pentru exigenta A1 (rezistență și stabilitate la solicitări dinamice, inclusiv cele seismică, pentru construcții civile, industriale și agricole cu structuri din beton armat și zidărie).

2. ACTIVITĂȚI DESFĂȘURATE PENTRU ÎNTOCMIREA EXPERTIZEI

a) Activități de birou:

- analiza reglementarilor tehnice în vigoare
- studierea planurilor cu relevăe
- calcule de verificare

b) Activități de teren:

- inspecție vizuală și relevare foto imobil existent



- c) Întâlniri de lucru
- d) Elaborarea expertizei și formularea recomandărilor și a concluziilor

3. DATE CARE AU STAT LA BAZA EXPERTIZĂRII TEHNICE

Evaluarea seismica a structurii si a CNS (componentelor nestructurale) din clădire constă într-un ansamblu de operații care trebuie să stabilească vulnerabilitatea acestora în raport cu cutremurile caracteristice amplasamentului. În mod concret evaluarea stabilește măsura în care o clădire îndeplinește cerințele de performanță asociate acțiunii seismice considerate în stările limita precizate.

Acțiunea de evaluare a fost în mod necesar, precedată de culegerea informațiilor necesare în acest scop vizând calitatea concepției de realizare a construcției, calitatea execuției și a materialelor puse în opera și starea de afectare fizică a construcției.

În vederea evaluării rezistenței la cutremur a construcției în cauza, datelor necesare au fost preluate din relevul cladirii existente.

Suplimentar, s-au considerat în analiza imobilului și:

- Inspecție vizuală în amplasament, la exteriorul și la interiorul imobilului expertizat;
- Relevu foto realizat în amplasament.
- Raport de dezveliri la fundații
- Expertiza tehnică realizată în anul 1997 de Expert ing. Belgun Ionel, în urma unui incendiu la acoperisul cladirii

4. REGLEMENTĂRI TEHNICE AVUTE ÎN VEDERE

Prezenta documentație a avut în vedere următoarele reglementări legislative și tehnice, lista nefiind limitativă:

CARACTER GENERAL

- SR EN 1990-2004 – Eurocod 0: Bazele proiectării structurilor
- CR 0-2012 Cod de proiectare. Bazele proiectării construcțiilor.
- P100-1 / 2013 – Cod de proiectare seismică. Prevederi de proiectare pentru clădiri
- P100-3 / 2019 - Cod de proiectare seismică – partea a III-a – Prevederi pentru evaluarea seismică a clădirilor existente
- P 130-99 - Normativ privind comportarea în timp a construcțiilor

Acțiuni

- SR EN 1990-2004_A1-2006 – Eurocod 0: Bazele proiectării structurilor
- SR EN 1990-2004_NA-2006 – Eurocod 0: Bazele proiectării structurilor. Anexa națională
- SR EN 1991-1-1-2004 – Eurocod 1: Acțiuni asupra structurilor. Partea 1-1: Acțiuni generale. Greutăți specifice, greutăți proprii, încărcări utile pentru clădiri
- SR EN 1991-1-1-2004_NA-2006 – Eurocod 1: Acțiuni asupra structurilor. Partea 1-1: Acțiuni generale. Greutăți specifice, greutăți proprii, încărcări utile pentru clădiri. Anexa națională
- CR 1-1-3 / 2012 Cod de proiectare. Evaluarea acțiunii zăpezii asupra construcțiilor.
- CR1-1-4/2012 Cod de proiectare. Evaluarea acțiunii vântului asupra construcțiilor.

BETON ȘI BETON ARMAT

- SR EN 1992-1-1:2004/NB:2008 Proiectarea structurilor din beton. Reguli generale și reguli pentru clădiri. Anexa națională
- NE 012/1-2007 Normativ pentru producerea betonului și executarea lucrărilor de beton, beton armat și precomprimat, partea 1: Producerea betonului
- NE 012/2-2010 Normativ pentru producerea și executarea lucrărilor din beton, beton armat și beton precomprimat- Partea 2; Executarea lucrărilor din beton
- SR EN 1994-1-1:2004/NB:2008 Proiectarea structurilor compozite de otel- beton. Reguli generale și reguli pentru clădiri. Anexa națională
- CR 2-1-1.1 / 2006 Cod de proiectare a construcțiilor cu pereti structurali de beton armat
- NP 007 / 1997 Cod de proiectare pentru construcții în cadre din beton armat

- NE 013 / 2002 Cod de practică pentru executarea elementelor prefabricate din beton armat

ZIDĂRIE

- CR 6 / 2006 Cod de proiectare pentru structuri din zidărie
- CR 6-2013- Cod de proiectare pentru structuri din zidărie
- GPE 102-2004 Ghid de proiectare și execuție a structurilor din cărămidă
- STAS 10104 / 1983 Construcții de zidărie – prevederi fundam. pt. Calcul structural
- STAS 10109/1-1982 Lucrări de zidărie, alcătuire și date constructive
- MP 007/1999 Metodologie de investigare a zidăriilor vechi

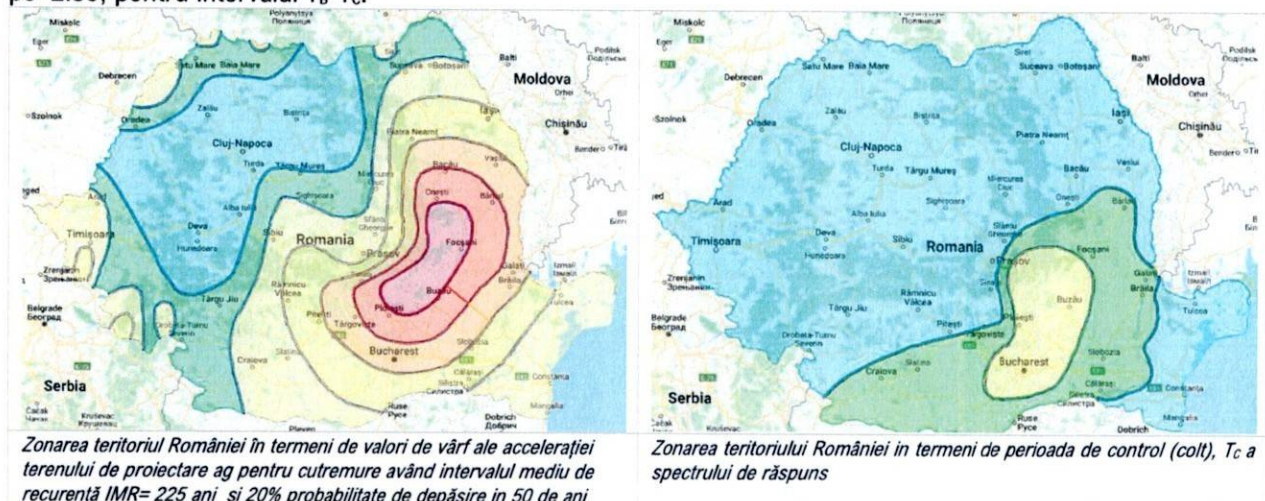
FUNDATII

- NP 074-2014 Normativ privind documentațiile geotehnice pentru construcții
- NP 112-2014 Normativ privind proiectarea fundațiilor de suprafață
- SR EN 1997-1-2004 Partea 1 Reguli generale
- SR EN 1997-1-2004_NB-2007 Partea 1 Reguli generale. Anexă națională
- NP 120-14 Normativ privind cerințele de proiectare si execuție a excavațiilor adânci in zonele urbane
- NP 124-2010 Proiectarea geotehnică a lucrărilor de susținere
- GP 014-1997 Ghid de proiectare pentru calculul terenului de fundare la acțiuni seismice pentru fundațiile directe
- STAS 6054 / 1984 Teren de fundare - Adâncimi maxime de înghet ;

5. CONDIȚII DE AMPLASAMENT

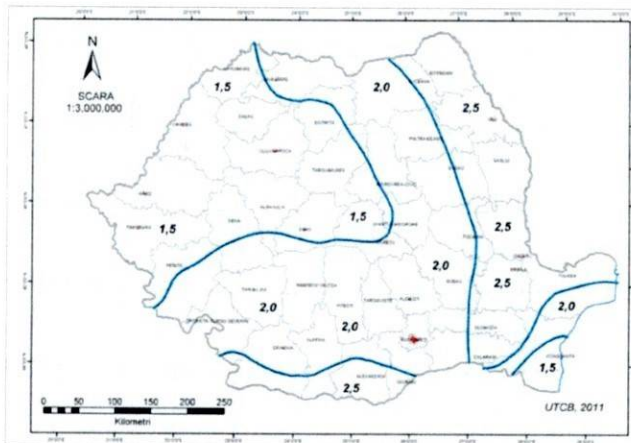
Conform cap. 3 al P100-3/2019 în cazul clădirilor existente este permisă asigurarea cerințelor fundamentale definite în P100-1 pentru mișcări seismice de intensitate mai redusa decât cele considerate la proiectarea clădirilor noi, corespunzătoare unor probabilități mai mari de depășire în 50 de ani decât cutremurul de proiectare. Astfel, în prezenta expertiză se va utiliza probabilitatea de 40% de depășire a valorii de vârf a accelerării terenului în 50 de ani, ce corespunde unui interval mediu de recurență de 100 de ani (IMR 100ani). Aceasta corespunde unei accelerări la nivelul terenului de $ag=0.24g$, cu o perioadă de colț a spectrului seismic $T_c=1.0$ s.

În cazul unui nivel redus de asigurare seismica, pentru evaluarea soluției de consolidare se va utiliza interval mediu de recurență de 225 ani, conform P100-3/2019 cfp.3.3 alin (7) și (5). Acest aspect corespunde unei accelerări de proiectare la nivelul terenului de $ag=0.30g$, cu o perioadă de colț a spectrului seismic $T_c=1.0$ s, pentru un seism cu perioada medie de revenire de 225 ani, care este cutremurul ce este luat în considerare la Stare Limită Ultimă (SLU). Coeficientul de amplificare dinamică este, conform cu normativul P100/1-2013, $\beta_0=2.50$, pentru intervalul T_B-T_C .



5.1. CONDIȚII CLIMATICE – ZĂPADĂ

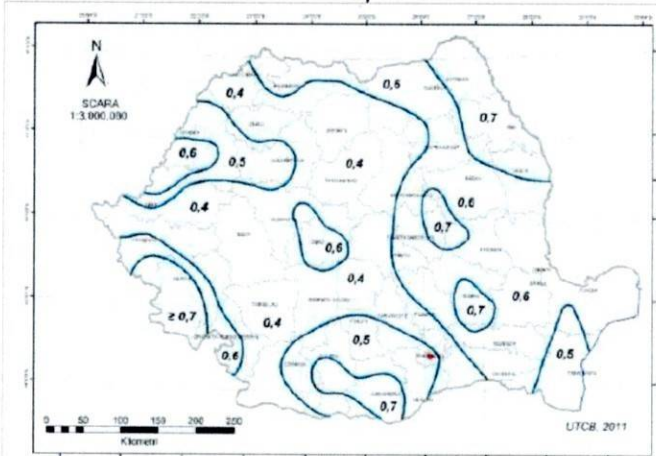
Conform SR EN 1991-1-3 /2005 și CR 1-1-3/2012



Conform Figurii 3.1 si Tabelului A1 din CR 1-1-3:2012, amplasamentul se află în zona de zăpadă cu valoarea caracteristică a încărcării din zăpadă pe sol, de $s_{0,k} = 2,0 \text{ kN/m}^2$

5.2. CONDIȚII CLIMATICE – VÂNT

Conform SREN 1991-1-4/2005 și CR 1-1-4/2012

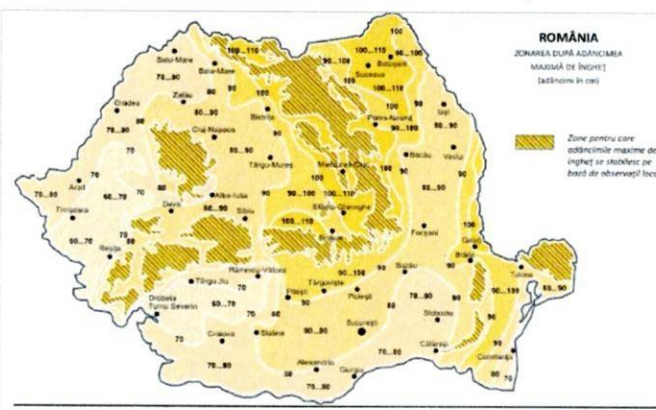


Conform Figurii 2.1 si Tabelului A1 din CR 1-1-4:2012, amplasamentul se află în zona de vânt cu valoarea de referință a presiunii dinamice a vântului , de $q_k = 0.40 \text{ kPa}$

Figura 2.1 Zonarea valorilor de referință ale presiunii dinamice a vântului, q_k în kPa, având JMR = 50 ani

NOTA: Pentru altitudini peste 1000m valoarea presiunii dinamice a vântului se corectează cu relația (A.1) din Anexa A.

5.3. ADÂNCIMEA MAXIMA DE ÎNGHET



Adâncimea de îngheț este de cca. 90-100 cm (conform STAS 6054/1984)

5.4. CLASA DE IMPORTANȚA-EXPUNERE

Conform tabelului A1.1 din CRO - 2012, clădirea se încadrează în clasa a II - a de importanță și de expunere pentru care se iau în considerare urmatorii factori de importanță:

- Pentru acțiunea seismică $\gamma_{l,e} = 1.2$
- Pentru acțiunea vântului $\gamma_{l,w} = 1.15$
- Pentru acțiunea zăpezii este $\gamma_{l,s} = 1.1$

5.5. CATEGORIA DE IMPORTANTA

Conform HG 766/21.11.1997 si H.G.R. 261/1994, prin care s-au aprobat regulamente privind calitatea in constructii si stabilirea categoriei de importanta a constructiilor, cladirea face parte din categoria de importanta C (importanta normala).

6. DESCRIEREA CONSTRUCȚIILOR EXISTENTE

6.1. AMPLASAMENT/ADRESA/VECINĂTĂȚI IMOBIL STUDIAT:

Terenul pe care se afla constructia analizata este situat in Targoviste, judetul Dambovita. Terenul pe care este amplasata scoala este un teren relativ plat.

Liceul „Voievodul Mircea” din Blvd. Regele Carol I este un ansamblu de mai multe corpuri, dintre care face obiectul expertizei corpul C6, asa cum se poate observa in urmatoarea imagine extraisa din planul cadastral:



Poziția și datele de identificare ale clădirii analizate pe planul de situație



Poziția și datele de identificare ale clădirii analizate pe Google Maps

6.2. DESCRIEREA CONSTRUCȚIILOR EXISTENTE DIN PUNCT DE VEDERE ARHITECTURAL

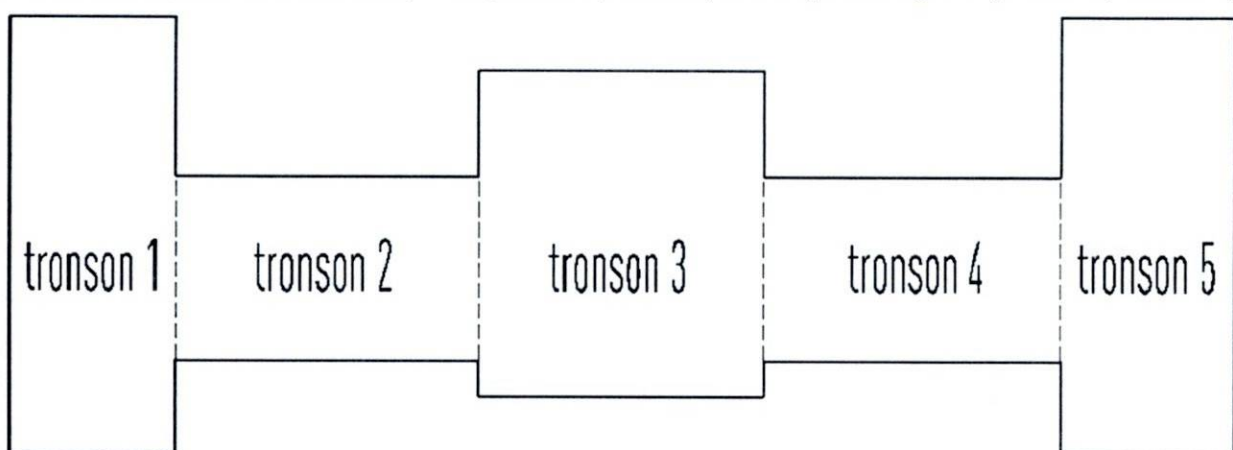
Cladirea dateaza din anul 1923 cand a fost executat parterul, celelalte 2 etaje fiind executate dupa anul 1930. Constructia cuprinde 2 aripi (nord-sud) de cca. 11 x 30 m, o zona centrala de cca. 12.5 x 20 m si 2 corpi de legatura de cca. 19.0 x 21.0 m, insumand o suprafata construita de 1602 mp, respectiv o suprafata desfasurata de 4806 mp.

Subsolul se desfosoara doar pe amprenta aripiei de nord si are functiune tehnica.

Inaltimele de nivel sunt:

- Subsol: 2.5 m
- Parter: 4.7 m
- Etaj 1: 4.3 m
- Etaj 2: 4.2 m

Initial, cladirea a fost realizata dintr-un singur corp, cu lungimea de peste 80 m, fara rosturi verticale. In urma lucrarilor realizate in anul 1997, cladirea a fost tronsonata in 5 tronsoni separate prin rosturi verticale de 5 cm, astfel: 2 aripi extreme (tronson 1, tronson 5), 1 corp central (tronson 3) si 2 corpi de legatura (tronson 2, tronson 4).



6.3. DESCRIEREA CONSTRUCȚIILOR EXISTENTE DIN PUNCT DE VEDERE STRUCTURAL

6.3.1. SUPRASTRUCTURA

Corpul C6 a fost construit în anul 1923. La acea vreme structura de rezistență a clădirilor se proiecta după o normă germană de construcție, cunoscută în general de constructorii români încă din primele decenii ale secolului XX, când coeficientul seismic se considera empiric egal cu 0.05 (5%).

Cladirea are structura de rezistență alcătuită din zidarie portantă masivă, astfel peretii exteriori au 75 cm grosime la subsol și parter, 60 cm grosime la etajul 1 și 50 cm grosime la etajul 2, cei interiori fiind de 60 cm la subsol și parter, respectiv 45 cm la cele 2 etaje.

Conform codului P100-3/2019 evaluarea seismică a clădirilor necesită parcurserea următoarelor etape:

- informații specifice necesare pentru evaluarea siguranței construcțiilor din beton armat și din oțel care vor conține: date generale privind construcția, date privind starea fizică a construcției, date privind geometria structurilor, proprietățile materialelor;
- evaluarea siguranței seismice calitativ și prin calcul.

Datele cu caracter general privind clădirile expertizate conform documentelor consultate și examinării vizuale sunt următoarele:

- Data execuție : 1923
- Forma în plan – cinci tronsoane cu forma dreptunghiulară
- Sistemul structural:
 - o Initial, structura era formată din pereti portanți de zidarie, fără elemente de confinare; Ulterior, în anul 1997, clădirea a fost consolidată astfel:
 - Tronsonarea clădirii în 5 corpușe separate prin rost vertical;
 - Introducerea a cate doi pereti din beton armat la capetele tronsoanelor de legătură;
 - Camasuirea peretilor tronsoanelor de la extremitățile clădirii;
 - Refacerea planseului peste etajul 2 și a sarpantei, afectate în urma unui incendiu la acoperis
- Plansele sunt din beton armat monolit.

Toate elementele verticale ale suprastructurii sunt continue în infrastructură, până la nivelul fundațiilor.

6.3.2. INFRASTRUCTURA

În vederea investigării naturii constructive a infrastructurii clădirii existente, a fost executat un sondaj de dezvelire la fundații. A fost pusă în evidență o fundație din caramida, cu înălțimea de 1.30 m măsurată față de cota terenului natural, care reazema pe o talpă de beton evazată cu 15 cm față de caramida, și cu înălțimea de 50 cm.

Raportul de dezveliri la fundații se regăseste anexat prezentei expertize.

6.4. DATE PRIVIND STAREA FIZICĂ A CONSTRUCȚIEI

Înănd cont de perioadele în care a fost realizată construcția, este clar că aceasta a fost supusă acțiunii mai multor seisme semnificative din secolul trecut, de mentionat cele din 1940, 1977, dar și cele din anii 1986 și 1990.

INTERVENȚII ASUPRA IMOBILULUI PE DURATA EXISTENȚEI

În urma unui incendiu la acoperisul clădirii, au fost efectuate lucrări de reparatie. Ca urmare a acestui eveniment, a fost elaborată o expertiza tehnică realizată de Expert ing. Belgun Ionel, prin care s-a dispus și realizarea unor lucrări de consolidare ale clădirii, lucrări ce au constat din:

- Tronsonarea clădirii în 5 corpușe separate prin rost vertical;
- Introducerea a cate doi pereti din beton armat la capetele tronsoanelor de legătură;
- Camasuirea peretilor tronsoanelor de la extremitățile clădirii;
- Refacerea planseului peste etajul 2 și a sarpantei, afectate în urma unui incendiu la acoperis

AVARII ÎN URMA SEISMELOR SAU A ALTOR EVENIMENTE

La data efectuării controlului calitativ prin inspecție vizuală, nu s-au constatat deficiențe importante ale elementelor structurale.

Cu toate că nu avem date certe privind comportarea construcțiilor în timpul seismelor pe care le-a suportat, putem aprecia că este posibil să fi apărut anumite degradări estompeate de lucrările de întreținere curente.

STAREA TEHNICA A ELEMENTELOR DE CONSTRUCȚIE

Din punct de vedere arhitectural, construcția este într-o stare tehnică relativ bună. La interior, la momentul inspecției clădirea este renovată.

Elementele care țin de cerința esențială „rezistență și stabilitate” nu prezintă neconformități și deficiențe vizibile.

Pe anumite zone pe corridor, există zone cu deformatii și degradări ale pardoselii, datorate tasării stratului suport al pardoselii.



Pe zona de subsol există zone ale peretilor cu tencuiala exfoliată afectate de infiltrări de apă, provenită atât din exterior, cât și din ascensiunea apei freatiche prin capilaritate.



De asemenea, există zone ale planseului peste subsol cu beton exfoliat, cu armaturi expuse, corodate.



7. LISTĂ DE LUCRĂRI ELIGIBILE PENTRU CREȘTEREA EFICIENȚEI ENERGETICE

- Lucrări de reabilitare termică a elementelor de anvelopă a clădirii;
- Lucrări de reabilitare termică a sistemului de încălzire/a sistemului de furnizare a apei calde de consum;
- Instalarea unor sisteme alternative de producere a energiei electrice și/sau termice pentru consum propriu; utilizarea surselor regenerabile de energie;
- Lucrări de instalare/reabilitare/modernizare a sistemelor de climatizare și/sau ventilare mecanică pentru asigurarea calității aerului interior;
- Lucrări de reabilitare/ modernizare a instalațiilor de iluminat în clădiri;
- Sisteme de management energetic integrat pentru clădiri;
- Sisteme inteligente de umbrire pentru sezonul cald;
- Modernizarea sistemelor tehnice ale clădirilor, inclusiv în vederea pregătirii clădirilor pentru soluții inteligente;
- Lucrări pentru echiparea cu stații de încărcare pentru mașini electrice, conform prevederilor Legii nr. 372/2005 privind performanța energetică a clădirilor, republicată;
- Alte tipuri de lucrări:
 - repararea trotuarelor de protecție, în scopul eliminării infiltrărilor la infrastructura clădirii
 - repararea/construirea acoperișului tip terasă/șarpantă, dacă aceasta nu conduce la încărcări suplimentare care să determine schimbarea încadrării clădirii în clasa de risc seismic (clasa I sau II de risc seismic), inclusiv repararea sistemului de colectare a apelor meteorice de la nivelul terasei, respectiv a sistemului de colectare și evacuare a apelor meteorice la nivelul învelitoarei tip șarpantă;
 - demontarea instalațiilor și a echipamentelor montate aparent pe fațadele/terasa clădirii precum și remontarea acestora după efectuarea lucrărilor de intervenție
 - repararea elementelor de construcție ale fațadei care prezintă potențial pericol de desprindere și/sau afectează funcționalitatea clădirii
 - refacerea finisajelor interioare în zonele de intervenție
 - reabilitarea/ modernizarea instalației electrice, înlocuirea circuitelor electrice deteriorate sau subdimensionate.

8. PRECIZAREA OBIECTIVELOR DE PERFORMANȚA

Obiectivul de performanță este determinat de nivelul de performanță structurală / nestructurală al clădirii evaluat pentru un anumit nivel de hazard seismic.

Nivelul de hazard seismic este caracterizat de intervalul mediu de recurență, în ani, a valorii de vârf a accelerării orizontale a terenului (asociat cu probabilitatea de depășire în 50 de ani a valorii de vârf a accelerării terenului). Nivelurile de performanță ale clădirii descriu performanță seismică așteptată a acesteia prin descrierea degradărilor, a pierderilor economice și a întreruperii funcționării acesteia.

Se recomandă considerarea a trei niveluri de performanță ale clădirii, și anume:

1. Nivelul de performanță de limitare a degradărilor, asociat stării limită de serviciu (SLS);
2. Nivelul de performanță de siguranță a vieții, asociat stării limită ultime (ULS);

3. Nivelul de performanță de prevenire a prăbușirii, asociat stării limită de pre-colaps (SLPP).

Considerarea primelor două niveluri de performanță este obligatorie, cu excepția cazului în care se utilizează metodologia de evaluare simplificată (metodologia de nivel 1).

Obiectivul de performanță se obține din asocierea nivelului de performanță al clădirii, exprimat prin exigențele stărilor limită considerate, cu nivelul de hazard seismic, exprimat prin intervalul mediu de recurență, IMR, prevăzut în tabelul de mai jos.

Hazardul seismic este descris de valoarea de vârf a accelerării orizontale a terenului pe amplasament asociată unui interval mediu de recurență, respectiv probabilității de depășire a valorii de vârf a accelerării orizontale a terenului în 50 ani. Intervalele medii de recurență recomandate în evaluarea seismică a clădirilor bazată pe performanță sunt prezentate în tabelul următor.

Asocierea dintre obiectivul de performanță, nivelul de performanță, hazardul seismic exprimat prin IMR și prin ag este următoarea :

| Obiectiv de performanță | Nivel de performanță | Hazard seismic IMR (ani) | ag |
|-----------------------------|----------------------|--------------------------|--------|
| Limitarea degradărilor (LD) | SLS | 40 | 0.135g |
| Siguranța vieții (SV) | ULS | 100 | 0.24g |
| Prevenirea prăbușirii (PP) | CLS | 475 | 0.375g |

Explicitarea exigențelor de performanță conform P 100-1/2013 este următoarea:

- cerința de siguranță a vieții

Structurile trebuie să fie capabile pentru a prelua acțiunile seismice de proiectare stabilite conform P100-1/2013 cap. 3, cu o marjă suficientă de siguranță față de nivelul de deformare la care intervine prăbușirea locală sau generală, astfel încât viețile oamenilor să fie protejate.

- cerința de limitare a degradărilor

Structurile trebuie proiectate pentru a prelua acțiuni seismice cu o probabilitate mai mare de apariție decât acțiunea seismică de proiectare, fără degradări sau scoateri din uz, ale căror costuri să fie exagerat de mari în comparație cu costul structurii.

9. STABILIREA NIVELULUI DE CUNOAȘTERE

Factorii utilizati în stabilirea nivelului de cunoaștere sunt:

- geometria structurii (dimensiunile de ansamblu, ale elementelor structurale și nestructurale);
- alcătuirea elementelor structurale și nestructurale (cantitatea și detalierea armaturii în elementele de beton armat, mortarul și natura elementelor de zidărie);
- materialele utilizate în structura (proprietățile mecanice);

În funcție de nivelul de cunoaștere se stabilesc metodele de calcul admise precum și valoarea factorilor de încredere. În tabelul de mai jos sunt indicate nivelurile de cunoaștere și metodele corespunzătoare de calcul conform P100-3/2019.

| Nivelul cunoașterii | Geometrie | Alcătuirea de detaliu | Materiale | CF |
|---------------------|--|--|---|------|
| KL1 | Din proiectul de ansamblu original și verificarea vizuală prin sondaj în teren sau dintr-un relevu complet al clădirii | (a) din documentația tehnică de proiectare originală sau (b) pe baza proiectării simulate în acord cu practica la data realizării clădirii și pe baza unei inspecții limitate în teren | (a) din documentația tehnică de proiectare originală sau (b) valori stabilite pe baza standardelor valabile sau practicilor de construire din perioada realizării clădirii și din încercări limitate în teren | 1,35 |
| KL2 | | (a) din documentația tehnică de proiectare originală și dintr-o inspecție limitată în teren sau (b) dintr-o inspecție extinsă în teren | (a) din documentația tehnică de proiectare originală și rapoartele originale privind calitatea lucrărilor de construire sau | 1,2 |

| | | | | |
|-----|--|--|--|-----|
| | | | (b) din specificațiile de proiectare originale și din încercări limitate în teren sau (c) din încercări extinse în teren | |
| KL3 | | (a) din documentația tehnică de proiectare originală, din rapoartele originale privind calitatea lucrărilor de construire și dintr-o inspecție limitată în teren sau (b) dintr-o inspecție cuprinzătoare în teren | (a) din documentația tehnică de proiectare originală, din rapoartele originale privind calitatea lucrărilor de construire și din încercări limitate în teren sau (b) din încercări cuprinzătoare în teren | 1,0 |

LF – metoda forței laterale echivalente; MRS – calcul modal cu spectre de răspuns

Nivelul de cunoaștere realizat determină metoda de calcul permisă și valorile factorilor de încredere (CF).

În urma nivelului de colectare a informațiilor:

- *geometria structurii* – din relevée;
- *alcătuirea elementelor structurale și nestructurale* – pe baza măsurătorilor inspecției în teren, și a datelor din proiecte similare perioadei de execuție.
- *materialele utilizate în structură și componentele nestructurale*, respectiv proprietățile mecanice ale materialelor: - pe baza proiectelor similare perioadei de execuții.

Se consideră adecvată utilizarea clasei de cunoaștere KL1 – cunoaștere limitată (conform P 100-3/2019 pct. 4.3 și tabel 4.1).

Nivelul de cunoaștere determină metoda de calcul permisă și valorile factorilor de încredere (CF), care în această situație, expertul utilizează factorul de încredere CF = 1,35.

10. EVALUAREA STRUCTURII EXISTENTE

Evaluarea siguranței seismice a clădirii se face prin coroborarea rezultatelor obținute prin două categorii de procedee:

- evaluare calitativă (realizată pe baza criteriilor de conformare, de alcătuire și de detaliere a construcțiilor. Rezultatele examinării calitative se înscriv într-o listă, care arată dacă, și în ce măsură, construcția și elementele ei satisfac criteriile de alcătuire corectă);
- evaluare prin calcul (verificări prin calcul, utilizând metode și programe de calcul structural și verificări ale stării de eforturi (ale efectelor acțiunii seismice) în elementele esențiale ale structurii).

Codul P100-3/2019 prevede trei metodologii de evaluare a construcțiilor, funcție de metoda aleasă diferind nivelul de rafinare a metodelor de calcul și nivelul de detaliere a operațiunilor de verificare, astfel avem:

- Metodologia de nivel 1 (metodologie simplificată);
- Metodologia de nivel 2 (metodologie de tip curent pentru construcțiile obișnuite de orice tip);
- Metodologia de nivel 3 (metodologia utilizează metode de calcul neliniar și se aplică la construcții complexe sau de o importanță deosebită, în cazul în care se dispune de datele necesare).

Alegerea metodologiilor de evaluare se face pe baza unor criterii, cum sunt:

- cunoștințele tehnice în perioada realizării proiectului și execuției construcției;
- complexitatea clădirii, în special din punct de vedere structural, definită de proporții (deschideri, înălțime), regularitate etc.;
- datele disponibile pentru întocmirea evaluării (nivelul de cunoaștere);
- funcțiunea, importanța și valoarea clădirii;
- condițiile privind hazardul seismic pe amplasament; valorile accelerării seismice pentru proiectare (ag), condițiile locale de teren;
- tipul sistemului structural;
- nivelul de performanță stabilit pentru clădire.

Metodologia de evaluare selectată este metodologia de nivel 2, care se poate aplica la clădiri cu orice tip de structură, apartinând oricărei clase de importanță-expunere la cutremur.

10.1. EVALUAREA CALITATIVĂ CU METODOLOGIA DE NIVEL 2 (MN2)

Evaluarea calitativă urmărește să stabilească măsura în care regulile de conformare generală a structurilor și de detaliere a elementelor structurale și nestructurale sunt respectate în construcțiile analizate. Natura deficiențelor de alcătuire și întinderea acestora reprezintă criterii esențiale pentru decizia de intervenție structurală și stabilirea soluțiilor de consolidare, dacă este cazul.

10.1.1. R1- GRADUL DE ÎNDEPLINIRE A CONDIȚIILOR DE ALCĂTUIRE SEISMICĂ

Gradul de îndeplinire a condițiilor de conformare structurală, de alcătuire a elementelor structurale și a regulilor constructive pentru structuri care preiau efectul acțiunii seismice, respectiv gradul de îndeplinire al condițiilor de alcătuire seismică.

Evaluarea calitativă detaliată s-a făcut ținând seama de:

- principiile de alcătuire constructivă în comportarea seismică a clădirii cu pereți din zidărie.
- ampolarea fenomenului de deteriorare din cauza cutremurului și/sau a altor acțiuni

Lista de condiții pentru structuri de zidărie portanta în cazul aplicării metodologiei de nivel 2 :

| Criteriu | Criteriul este îndeplinit | Criteriul nu este îndeplinit | | |
|--|---|------------------------------|---------------------------|-------------------------|
| | | Neîndeplinire minora | Neîndeplinire moderata | Neîndeplinire majora |
| | 10 | 8÷10 | 4÷8 | 0÷4 |
| (1) Calitatea sistemului structural | Punctajul maxim: 10 puncte | | | |
| • Conlucrarea spațială a structurii prin conlucrarea pereților pe cele două direcții • Conlucrarea intre planșee si pereți • Existenta arilor de zidărie suficiente si aproximativ egale pe cele două direcții | Comportarea spatială a structurilor din zidarie se asigura prin realizarea legaturilor dintre peretii structurali de pe cele două directii principale si a legaturilor dintre pereti si plansee. Planșeele din beton asigura efectul de șaibă rigida. Sistemul de aşezare a pereților este de tip sistem celular (structura cu pereti rari) | | | |
| Punctaj total realizat | 8 | | | |
| (2) Calitatea zidăriei | Punctajul maxim: 10 puncte | | | |
| • Calitatea elementelor • Omogenitatea țeserii • Regularitatea rosturilor • Gradul de umplere cu mortar • Existenta zonelor slabite de șliuri/ nișe | Vechimea construcției (~100 ani) a dus la diminuarea calității elementelor de zidărie. Pereții nu prezinta zone slabite. Nu exista zone nețesute. | | | |
| Punctaj total realizat | 7 | | | |
| (3) Tipul planșeelor | Punctajul maxim: 10 puncte | | | |
| • Rigiditatea planșeelor in plan orizontal • Eficienta legăturilor planșeelor cu pereți | Planșeele din beton armat pot sa asigure mobilizarea uniforma a pereților de zidărie in cazul unui seism. | | | |
| Punctaj total realizat | 8 | | | |
| (4) Configurația in plan | Punctajul maxim: 10 puncte | | | |
| • Compactitate și simetrie exprimată prin raportul laturilor și dimensiunile retragerilor • Existenta bovidourilor | Tronsoanele au forma regulata | | | |
| Punctaj total realizat | 8 | | | |
| (5) Configurația in elevație | Punctajul maxim: 10 puncte | | | |

| | |
|--|---|
| <ul style="list-style-type: none"> • Uniformitate geometrică și structurală în elevație • Existenta retragerilor etajelor succesive • Existenta unor proeminente la ultimul nivel • Discontinuități create de sporirea ariei golurilor din pereti la parter/ la un nivel intermediar | Structura nu prezintă discontinuități pe verticală, care să devieze traseul încărcărilor către fundații. |
| Punctaj total realizat | 8 |
| (6) Distanțe între pereti | Punctajul maxim: 10 puncte |
| <ul style="list-style-type: none"> • Distanțele între peretii strucuturali pe fiecare dintre direcțiile principale ale clădirii/ sistem fagure • Existenta stâlpisoriilor în cazul sistemului cu pereti rari | Dispunerea peretilor strucuturali pe ambele direcții se poate aprecia ca fiind destul de coerentă și urmărește exclusiv funcționalitatea. |
| Punctaj total realizat | 7 |
| (7) Elemente care dau împingeri laterale | Punctajul maxim: 10 puncte |
| <ul style="list-style-type: none"> • Existenta arcelor, bolților, șarpantelor cu/fără elemente care preiau / limitează efectele împingerilor | |
| Punctaj total realizat | 8 |
| (8) Tipul terenului de fundare și al fundațiilor | Punctajul maxim: 10 puncte |
| <ul style="list-style-type: none"> • Natura terenului de fundare • Capacitatea fundațiilor de a prelua și transmite la teren încărcările verticale, eforturile provenite din tasări diferențiale și din acțiunea seismică | Terenul de fundare este normal. Fundațiile peretilor îndeplinesc condiția impusă de adâncimea de îngheț. |
| Punctaj total realizat | 6 |
| (9) Interacțiuni posibile cu clădirile adiacente | Punctajul maxim: 10 puncte |
| <ul style="list-style-type: none"> • Risc de ciocnire cu clădiri alăturate • Înălțimile clădirilor vecine • Existenta riscului de cădere a unor componente ale clădirilor vecine | Cele 3 tronsoane sunt separate prin rost cu deschidere mică. |
| Punctaj total realizat | 8 |
| (10) Elemente nestructurale | Punctajul maxim: 10 puncte |
| <ul style="list-style-type: none"> • Existenta unor elemente de zidărie majore (calcane, frontoane, timpane), placaje grele, elemente decorative importante ce prezintă risc de prăbușire. | Riscul prăbușirii parțiale sau totale a elementelor nestructurale este redus. |
| Punctaj total realizat | 8 |
| Punctaj total pentru ansamblul condițiilor | $R_t = 76p$ |

Total punctaj realizat pentru cele zece condiții ce se aplică structurilor din zidărie în cazul aplicării metodologiei de nivel 2 este de 100 puncte. Punctajul obținut pentru clădirea analizată este de $R_t = 76$ puncte, căruia îl corespunde clasa III de risc seismic.

10.1.2. R2 – GRADUL DE AFECTARE STRUCTURALĂ

Indicatorul R2 definește gradul de avariere seismică a clădirii.

Nivelul de avariere a fost apreciat luând în considerare faptul ca clădirea a trecut prin 2 cutremure importante și este inevitabil să nu se fi produs procese de fisurare și microfisurare care au degradat capacitatea de rezistență a structurii.

Pentru evaluarea calitativă preliminară, starea generală de avariere se apreciază în funcție de gravitatea avariilor, prin punctajul prevăzut în tabelul D.3, din P100-3/2019.

| Categorie avariilor | Elemente verticale (A _v) | | | Elemente orizontale (A _h) | | |
|------------------------|---------------------------------------|---------|------|--|---------|------|
| | Suprafață afectată | | | Suprafață afectată | | |
| | ≤1/3 | 1/3÷2/3 | >2/3 | ≤1/3 | 1/3÷2/3 | >2/3 |
| Nesemnificative | 70 | 70 | 70 | 30 | 30 | 30 |
| Moderate | 65 | 60 | 50 | 25 | 20 | 15 |
| Grave | 50 | 45 | 35 | 20 | 15 | 10 |
| Foarte grave | 30 | 25 | 15 | 15 | 10 | 5 |

Coefficientul R2 care definește gradul de afectare structurală a clădirii se determină cu relația:

$$R_2 = A_v + A_h = 60 + 20 = 80$$

A_h – avarii în elementele structurale orizontale;

A_v – avarii în elementele structurale verticale

Punctajul obținut pentru clădirea analizată este de R2 = 80 puncte, caruia îi corespunde clasa III de risc seismic.

10.1.3. EVALUAREA CANTITATIVĂ PRIN CALCUL – GRADULUI DE ASIGURARE SEISMICĂ R3

Gradul de asigurare structurală seismică, notat cu R3, reprezintă raportul între capacitatea și cerința structurală seismică, exprimată în termeni de rezistență în cazul utilizării metodologiilor de nivel 1 și 2 sau în termeni de deplasare în cazul utilizării metodologiei de nivel 3. Acest indicator se determină pentru starea limită ultimă (ULS).

$$R_3 = \frac{F_{b,cap}}{F_b}$$

Verificarea prin calcul s-a făcut pentru gruparea seismică de încărcări. Verificarea s-a făcut la forța tăietoare a construcției la nivelul parterului, la nivelul golurilor de uși și ferestre. S-a considerat secțiunea de incastrare la nivelul partii superioare a soclului fundației (cota 0.00 a clădirii).

Stabilirea valorii indicatorului R₃ pentru corpul analizat este prezentată în Anexa A – Breviar de calcul.

Valoarea calculată a indicatorului R₃ a rezultat:

| Tronson | R3 |
|---------|---------|
| 1 | 35%-89% |
| 2 | 35% |
| 3 | 45% |
| 4 | 35% |
| 5 | 35%-89% |

10.2. SINTEZA EVALUĂRII SI INCADRAREA IN CLASE DE RISC SEISMIC

Evaluarea siguranței seismice și încadrarea în clasele de risc seismic se face pe baza a 3 categorii de condiții care fac obiectul investigațiilor și analizelor efectuate în cadrul evaluării. Pentru orientarea în decizia finală privitoare la siguranța structurii (inclusiv la încadrarea în clasa de risc a construcției) și la măsurile de intervenție necesare, se tine cont de măsura în care cele 3 categorii de condiții sunt îndeplinite :

Tabelul 8.1. Valori R₁ asociate claselor de risc seismic (extras din P100-3)

| Clasa de risc seismic | | | |
|-----------------------|---------|---------|----------|
| I | II | III | IV |
| Valori R ₁ | | | |
| < 30 | 30 – 59 | 60 – 89 | 90 – 100 |

Indicatorului R₁ = 76 ii corespunde clasa de risc seismic RsIII

Tabelul 8.2. Valori R₂ asociate claselor de risc seismic (extras din P100-3)

| Clasa de risc seismic | | | |
|-----------------------|---------|---------|----------|
| I | II | III | IV |
| Valori R ₂ | | | |
| < 50 | 50 – 69 | 70 – 89 | 90 – 100 |

Indicatorului R₂ = 80 ii corespunde clasa de risc seismic RsIII

Tabelul 8.3. Valori R₃ asociate claselor de risc seismic (extras din P100-3)

| Clasa de risc seismic | | | |
|---------------------------|-----------|-----------|-------|
| I | II | III | IV |
| Valori R ₃ (%) | | | |
| < 35% | 35% – 64% | 65% – 89% | ≥ 90% |

Indicatorului R₃ = 35% ii corespunde clasa de risc seismic RsII

Valorile celor trei indicatori, măsuri ale performanței seismice așteptate a construcției, trebuie considerate ca servind numai pentru orientare în decizia de încadrare a construcției într-o anumită clasă de risc seismic.

Decizia privind încadrarea clădirii într-o anumită clasă de risc trebuie să fie rezultatul unei analize complexe a ansamblului condițiilor de diferite nări. Investigațiile efectuate au avut scopul de a identifica verigile slabe ale sistemului structural și deficiențele semnificative ale elementelor nestructurale. Odată identificate, aceste deficiențe trebuie ierarhizate din punctul de vedere al efectelor potențiale asupra stabilității structurii în cazul atacului unui cutremur puternic și al riscului de pierdere a vieții oamenilor și de vătămare a acestora, sau a pagubelor materiale.

În luarea deciziei de încadrare în clase de risc seismic, expertul a avut în vedere zona seismică în care este amplasată construcția, precum și alte criterii privind alcătuirea construcției, comportarea în exploatare și la acțiuni seismice, cum sunt:

- regimul de înălțime;
- vechimea construcției;
- sistemul structural;
- conformarea structurală – gradul de îndeplinire a condițiilor de alcătuire - R1;
- gradul de afectare structurală – R2;
- gradul de asigurare structurală seismică – R3;
- starea elementelor nestructurale.

Având în vedere concluziile din urma inspecției obiectivului privind starea acestuia, precum și rezultatele asupra gradelor de asigurare, acestea conduc la încadrarea corpului C6 în clasa de risc seismic Rs II.



Din clasa de risc seismic Rs II fac parte clădirile susceptibile de avariere majoră la acțiunea cutremurului de proiectare corespunzător Stării Limită Ultime, care pune în pericol siguranța utilizatorilor, dar la care prăbușirea totală sau parțială este puțin probabilă.

Structura de rezistență a clădirii analizate în prezența expertiza și încadrata în clasa de risc seismic RsII necesită luarea unor măsuri de consolidare.

11. MASURI DE INTERVENTIE

În cazul de față măsurile de intervenție urmăresc să eliminate sau să reducă semnificativ deficiențele de diferite naturi ale structurii și ale componentelor nestructurale și, prin aceasta, să se obțină condițiile de siguranță:

$$\text{capacitatea construcției} \geq \text{cerința seismică}$$

Local, se va efectua repararea fisurilor din toți pereții interiori și exteriori prin injectare cu mortare cimentoase sau epoxidice. Pentru reparații de suprafață a elementelor de beton se va utiliza mortar de reparații betoane pe baza de ciment (ex : Sika MonoTop 612 sau similar) iar pentru repararea fisurilor se va utiliza răšină epoxidică bicomponentă (ex : Sikadur-52 Injection sau similar). Se vor realiza obligatoriu reparații ale suprafețelor de beton din subsol cu reînglobarea armăturilor (acolo unde este cazul). Se vor folosi produse care prin agamentele tehnice prevăd că sunt utilizabile pentru zone cu umiditate ridicată asociată subsolurilor (clasa de expunere XC2).

Se vor înlocui elementele degradate ale șarpantei cu elemente noi, de aceeași dimensiune și din același material.

Se vor verifica prinderile elementelor de rezistență ale șarpantelor de structură existentă și, eventual, se vor reface prinderile necorespunzătoare. Se vor monta scoabe acolo unde lipsesc;

Se vor înlocui jgheaburile și burlanele degradate care permit scurgerea apei pluviale pe pereți și trotuarul perimetral;

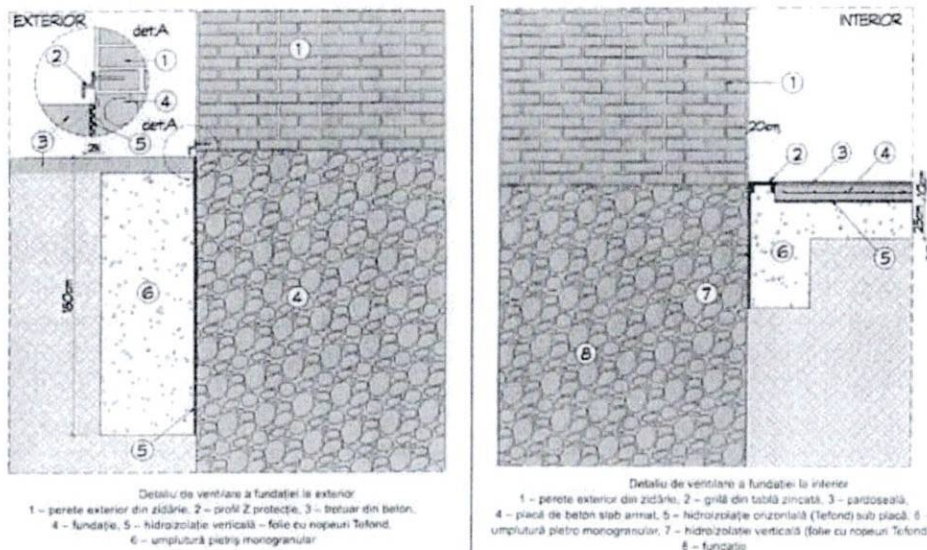
Se vor reface trotuarele perimetrale cu pantă corespunzătoare spre exterior și se vor izola corespunzător rosturile dintre trotuare și fundații pentru a împiedica infiltrarea apelor meteorice în zona fundațiilor;

Pe zonele cu pardoseala deformată, se va desface placa pardoseala și se vor reface straturile de sub aceasta astfel:

- umplutura compactată;
- strat de rupere a capilaritatii;
- termoizolatie;
- folie PVC;
- placa beton armat de 10 cm, armată cu un rand de plasa φ6/100/100.

În ceea ce privește vulnerabilitatea peretilor și fundațiilor la ascensiunea capilară a apei, se recomandă luarea unor măsuri de reducere a vulnerabilității și de împiedicare a acestui fenomen.

Soluțiile de intervenție sunt complexe și necesită practic crearea unui strat impermeabil în grosimea peretelui la baza acestuia, precum și realizarea unui strat ventilant între construcție și platformele betonate, respectiv între construcție și pardoseala interioară.



Refacerea hidroizolatiei orizontale se realizeaza prin urmatoarele metode:

- Injectarea de solutii lichide (geluri) care datorita porozitatii materialelor, patrund in grosimea elementului unde se solidifica rezultand un strat impermeabil (bariera chimica);
- Sectionarea peretelui si introducerea unor placi izolatoare urmata de impanare si introducerea unor mortare necontractile pentru refacerea structurii peretelui.

Cota de executie se recomanda sa fie sub nivelul pardoselii parter.

In ceea ce priveste infiltratiile in subsol, se recomanda hidroizolarea subsolului, la interior, prin aplicarea unor membrane bentonitice atat pe pereti, cat si pe pardoseala. Membranele vor fi acoperite cu un strat de beton armat de protectie.

Aceste procedee vor trebui sa respecte fisa tehnica a produsului.

Suplimentar se pot realiza si drenuri perimetrale cu descarcare in reteaua de canalizare.

Pentru ridicarea gradului de asigurare la actiuni seismice sunt necesare lucrari de consolidare structurala.

Se va realiza o camasuire a peretilor de zidarie, la care se va utiliza o tencuiala de ciment, fara var, cu grosime minimă de 8 cm si armata cu plase sudată SPPB tip $\Phi 8/100/100$, facandu-se legatura cu peretii de caramida prin intermediul unor ancore (6 buc/mp). Camasuirea va porni din fundatii noi, cu latimea minimă de 40cm si adâncimea egală cu cea a fundatiilor de sub pereti. Pentru asigurarea conlucrarii intre camasuală si suport este necesara curătirea suportului de tencuiala veche, înălțurând prin buciardare 1-2mm din suprafața cărămizilor. Dupa aceste etape se efectueaza suflarea cu aer, se monteaza armatura, se uda peretii iar apoi se aplica stratul de beton.

Variantele de interventii sunt urmatoarele:

- Varianta minima:

 - tronson 2: P7, P8, P18 – camasuire pe ambele parti
 - tronson 3: P5, P6, P14, P15, P16, P17, P18 – camasuire pe ambele parti
 - tronson 4: P7, P8, P18 – camasuire pe ambele parti

In urma implementarii variantei minime, se obtin tronsoane incadrate in clasa de risc seismic RsIII.

- Varianta maxima:

 - tronson 2: P7, P8, P18 – pe ambele parti, respectiv P1, P2, P3, P4, P5, P6, P10, P11, P12, P13, P14, P15, P16 – pe fata interioara
 - tronson 3: P5, P6, P14, P15, P16, P17, P18 – pe ambele parti, respectiv P1, P2, P3, P4, P7, P8, P9, P10, P11, P12, P13, P19, P20, P21 – pe fata interioara
 - tronson 4: P7, P8, P18 – pe ambele parti, respectiv P1, P2, P3, P4, P5, P6, P10, P11, P12, P13, P14, P15, P16 – pe fata interioara

In urma implementarii variantei maximale, se obtin tronsoane incadrate in clasa de risc seismic RsIV.

Vinietele cu etichetele peretilor pentru cele 3 tronsoane ce trebuie consolidate se regasesc in anexa A – Breviar de calcul.

Detaliile si tehnologia de executie vor fi prevazute si descrise in proiectul tehnic de consolidare. Calculele structurale si de dimensionare ale elementelor de consolidare vor respecta modele si metode din P100-1/2013 si reguli suplimentare date in indrumatorul P100-3/2019.

Avand in vedere art. 3.3 (5) din P100-3/2019 : „*În cazul clădirilor aparținând integral domeniului public sau privat al statului sau al unităților administrativ-teritoriale, la care lucrările de intervenție sunt însoțite de lucrări de reparații capitale, tipul și anvergura lucrărilor de intervenție se stabilesc astfel încât, după efectuarea acestora, clădirea să poată fi încadrată în clasa de risc seismic RsIV*”, expertiza analizeaza doua variante de consolidare, care sporesc gradul de asigurare seismică, astfel incat in urma consolidarii $R_3 \geq 90\%$, iar cladirile analizate vor fi incadrate in clasa de risc seismic RsIV, din care fac parte cladirile la care raspunsul seismic asteptat sub efectul cutremurului de proiectare, corespunzător Stării Limită Ultime, este similar celui asteptat pentru cladirile proiectate pe baza reglementarilor tehnice in vigoare.

Pentru aplicarea corecta a solutiilor de interventie, se recomanda incredintarea acestor lucrari unei firme cu experienta in domeniu, capabila sa ofere garantii atat pentru materialele utilizate, cat si pentru punerea lor in opera.

12. CONCLUZII

Din punct de vedere al riscului seismic, in sensul efectelor probabile ale unor cutremure, caracteristicile amplasamentului, asupra constructiilor analizate in acest caz, expertul incadreaza corpul C6 al Liceului „Voievodul Mircea” din Municipiul Targoviste in clasa de risc seismic RsII.

Aceasta incadrate implica necesitatea consolidarii construcției in vederea creșterii performantelor seismice, ideal aducerii ei la nivelul de siguranța impus de codurile actuale.

În urma analizelor efectuate se pot descrie următoarele concluzii si recomandări:

- In ceea ce priveste tronsoanele 2, 3, 4, Expertul considera ca pentru structura de rezistenta sunt necesare masuri de consolidare, care conditioneaza realizarea lucrarilor de reabilitare propuse;
- In ceea ce priveste structura de rezistenta a tronsoanelor 1 si 5, nu sunt necesare masuri de consolidare, care ar putea conditiona realizarea lucrarilor de reabilitare propuse. Insa lucrările propuse se pot efectua dupa realizarea lucrarilor de consolidare la tronsoanele 2, 3, 4.
- Masurile de interventie propuse sunt:
 - Varianta minimala:
 - tronson 2: P7, P8, P18 – camasuire pe ambele parti
 - tronson 3: P5, P6, P14, P15, P16, P17, P18 – camasuire pe ambele parti
 - tronson 4: P7, P8, P18 – camasuire pe ambele parti

In urma implementarii variantei minime, se obtin tronsoane incadrate in clasa de risc seismic RsIII.

- Varianta maxima:
 - tronson 2: P7, P8, P18 – pe ambele parti, respectiv P1, P2, P3, P4, P5, P6, P10, P11, P12, P13, P14, P15, P16 – pe fata interioara
 - tronson 3: P5, P6, P14, P15, P16, P17, P18 – pe ambele parti, respectiv P1, P2, P3, P4, P7, P8, P9, P10, P11, P12, P13, P19, P20, P21 – pe fata interioara
 - tronson 4: P7, P8, P18 – pe ambele parti, respectiv P1, P2, P3, P4, P5, P6, P10, P11, P12, P13, P14, P15, P16 – pe fata interioara

In urma implementarii variantei maxime, se obtin tronsoane incadrate in clasa de risc seismic RsIV.

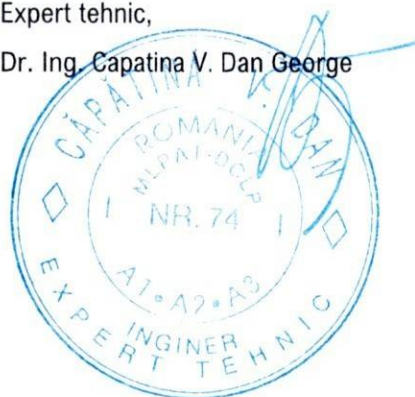
- Prin executarea lucrarilor de interventie, cladirile si proprietatile invecinate nu vor fi afectate nici in timpul executiei si nici dupa aceea, in exploatare;

- Toate lucrările se vor realiza îngrijit, fără a produce şocuri și vibrații care să conducă la deteriorarea structurii de rezistență a clădirii existente;
- Pe durata execuției, se vor lua toate măsurile pentru protecția mediului, respectarea legislației în domeniul mediului, sănătății și securității în muncă și situații de urgență, inclusiv instrucțiunile proprii de securitate și sănătate în muncă aplicabile pe șantier.
- Lucrările se vor executa pe baza unui proiect tehnic, elaborat de o firmă specializată și verificat conform legislației în vigoare. De asemenea lucrările se vor efectua numai după obținerea Autorizației de Construire și anunțarea începerii lucrărilor și vor fi executate cu personal calificat și urmărite de personal autorizat;
- Executarea lucrărilor menționate este posibilă în condițiile în care nu se modifică reglementările tehnice (standardele, codurile și normativele) avute în vedere la întocmirea expertizei.
- Conform codului P100-3/2019, anexa G, pct.G.2.1(9) expertiza tehnică se poate completa / detalia și definitiva la încheierea lucrărilor de decopertare a elementelor structurale. Funcție de sondajele și încercările care se vor efectua la deschiderea șantierului, expertul își rezervă dreptul de a modifica sau completa prezenta expertiză.

Adoptarea în faza de execuție a unor rezolvări, care nu sunt conforme concluziilor și recomandărilor prezentului raport și ale proiectului de execuție avizat de expert, nu angajează răspunderea expertului și a inginerului proiectant.

Data,
Septembrie 2022

Expert tehnic,
Dr. Ing. Capatina V. Dan George



13. ANEXA A – BREVIAR DE CALCUL

Evaluarea incarcarilor

| Încărcări permanente acoperis | Încărcare pe suprafață [kN/mp] |
|-------------------------------|-----------------------------------|
| Greutate șarpantă | 1 |
| Invelitoare | 0.4 |
| Ansamblu termo-hidro | 0.2 |

| Încărcări variabile | Încărcare pe suprafață [kN/mp] |
|----------------------------|-----------------------------------|
| Zăpadă | 1.76 |
| Utilă – nivel curent | 2 |
| Utilă – zona de circulații | 3.0 |

| Încărcări permanente nivel curent | Încărcare pe suprafață [kN/mp] |
|---|-----------------------------------|
| Finisaj | 2 |
| Elemente nestructurale – compartimentari si inchideri | 3 |
| Greutate elemente structurale | 7 |

Evaluarea incarcarilor din zapada

- Valoarea caracteristica a incarcarii din zapada pe sol este $s_{0,k}=2.0 \text{ kN/m}^2$
- Factorul de importanta-expunere pentru actiunea zapezii este: $\gamma_{i,s} = 1.10$
- Coeficientul de expunere al construcției in amplasament: $c_e=1$ – expunere normala
- Coeficientul termic: $c_f=1$
- Coeficientul de forma pentru incarcarea din zapada pentru acoperisuri: $\mu_i=0.8$

Valoarea caracteristica a incarcarii din zapada pe acoperis este: $s_k = 1.76 \text{ kN/m}^2$

Gruparea incarcarilor

Gruparea efectelor structurale ale acțiunilor pentru proiectarea la stări limită ultime s-a realizat conform regulilor din CRO-2012:

Gruparea fundamentală, la care sunt dimensionate elementele solicitate predominant gravitațional (plăcile, grinzi secundare, fundațiile și, uneori, grinzi și stâlpii), este, în general, caracterizată de expresia:

$$1,35 \cdot \sum_{j=1}^n G_{k,j} + 1,5 \cdot Q_{k,1} + \sum_{i=2}^m 1,5 \cdot \psi_{0,i} \cdot Q_{k,i}$$

unde:

- $G_{k,j}$ este efectul pe structură al acțiunii permanente j , luate cu valoarea sa caracteristică;
- $Q_{k,i}$ este efectul pe structură al acțiunii variabile i , luate cu valoarea sa caracteristică;
- $Q_{k,1}$ este efectul pe structură al acțiunii variabile care are ponderea predominantă între acțiunile variabile, luate cu valoarea sa caracteristică;
- $\psi_{0,i}$ este un factor de simultaneitate al efectelor pe structură ale acțiunilor variabile i , având valoarea:
 - $\psi_{0,i} = 1,0$ pentru încărcările din depozite și acțiuni provenind din împingerea pământului, a materialelor pulverulente și a fluidelor/apei
 - $\psi_{0,i} = 0,7$ în rest.
- 1,35 este coeficientul parțial de siguranță aplicat încărcărilor permanente (greutățile structurii, finisajelor, compartimentărilor, instalațiilor etc.).

- 1,5 este coeficientul parțial de siguranță aplicat încărcărilor variabile (încărcări de exploatare care nu sunt constante în timp sau spațiu: circulații, trafic, depozitare etc.)

Gruparea seismica, caracterizată de formula:

$$\sum_{j=1}^n G_{k,j} + \gamma_I \cdot A_{Ek} + \sum_{i=1}^m \psi_{2,i} \cdot Q_{k,i}$$

unde:

- A_{Ek} este valoarea caracteristică a acțiunii seismice;
- γ_I – coeficient de importanță a construcției;
- $\psi_{2,i}$ – coeficient pentru determinarea valorii cvasipermanente a acțiunii variabile Q_i

| Tipul acțiunii | $\psi_{2,i}$ |
|---|--------------|
| Acțiuni din vânt și Acțiuni din variații de temperatură | 0 |
| Acțiuni din zăpadă | 0,4 |
| Acțiuni datorate exploatarii | 0,6 |

Evaluarea indicatorului R3 – gradul de asigurare seismica

Evaluarea forței seismice

$$F_b = c_s \cdot G$$

$$c_s = \gamma_{I,e} \cdot \frac{a_g}{g} \cdot \frac{\beta(T)}{q} \cdot \eta \cdot \lambda - \text{coeficientul seismic pentru clădiri cu structura de zidarie}$$

Mențiune: conform Ordinului ministrului dezvoltării regionale și administrației publice nr. 2.465/08.08.2013, publicat în Monitorul Oficial al României, Partea I, nr. 558 bis, din 3 septembrie 2013, codul P100-1/2006 se aplică pentru evaluarea seismică a clădirii existente.

$$a_g = 0,24g, \text{ valoarea de vârf a accelerării terenului, pentru IMR} = 100 \text{ ani;}$$

În cazul în care clădirea va fi încadrata în clasa de risc seismic RSI sau RSII, conform anexei A, pct 3 din P100-3/2019, la proiectarea lucrărilor de intervenție având ca scop încadrarea în clasa de risc seismic RSIIV se utilizează valorile accelerării terenului pentru proiectare având IMR=225 ani ($a_g = 0,30g$), pentru verificări la Starea Limită Ultimă, și de 40 de ani, pentru verificări la Starea Limită de Serviciu

G – greutatea clădirii.

$$\gamma_{I,e} = 1.2 - \text{factor de importanță - expunere pentru acțiunea seismica}$$

g - accelerăția gravitațională considerată 9.81 m/s^2

$\beta(T) = 2.5$ – spectrul normalizat de răspuns elastic pentru componente orizontale ale accelerării terenului

q – valoarea factorului de comportare; $q=1.5$ pentru structuri din zidărie simplă;

$\eta = 0.88$ – factor de reducere care tine seama de amortizarea zidăriei, aplicabil în cazul structurilor de zidarie portantă

$$\lambda = 0.85 \text{ pentru clădirile } \geq P+2E$$

A rezultat următoarea valoare a forței seismice pentru clădirea analizată:

| Tronson | c_s | $G [\text{kN}]$ | $F_b [\text{kN}]$ |
|---------|-------|-----------------|-------------------|
| 1 | 0.359 | 12870 | 4620 |
| 2 | 0.359 | 14365 | 5157 |
| 3 | 0.359 | 22360 | 8027 |
| 4 | 0.359 | 14365 | 5157 |
| 5 | 0.359 | 12870 | 4620 |

Verificarea deplasarilor relative de nivel

La astfel de construcții verificarea deplasarilor relative de nivel nu este relevantă, întrucât astfel de structuri sunt înzestrate puternic cu rigiditate.

Calculul gradului de asigurare seismica

Verificarea se face comparând efortul înregistrat sub acțiunea forțelor laterale și gravitaționale, împărțit la un factor de reducere a cărui valoare este specifică naturii ruperii elementului la tipul de efort considerat, cu efortul capabil.

Acesta din urmă se determină cu rezistențele medii ale materialelor împărțite la factorii de încredere și factorii parțiali de siguranță.

Rezistența de proiectare la compresiune pentru pereții solicitați la încovoiere cu forță axială, f_d , se determină cu relația:

$$f_d = \frac{f_m}{CF} = \frac{1,3 \cdot f_k}{CF}$$

- elemente pentru zidărie: cărămidă ceramica plina – rezistența standardizată a elementului: $f_b = 5 \text{ N/mm}^2$
- mortar marca M2.5

Conform tabelului 4.2a din CR 6-2013, se alege $f_k = 1.8 \text{ N/mm}^2$.

Valoarea rezistenței de proiectare la compresiune pentru pereții solicitați la încovoiere cu forță axială rezultă:

$$f_d = \frac{1,3 \cdot 1.8 \text{ N/mm}^2}{1,35} \Rightarrow f_d = 1.73 \text{ N/mm}^2$$

Rezistența de proiectare pentru pereții solicitați la forță tăietoare cu rupere prin luncare în rost orizontal, f_{vd} , se determină cu relația:

$$f_{vd} = \frac{f_{vm}}{\gamma_M \cdot CF} = \frac{1,3 \cdot f_{vk}}{\gamma_M \cdot CF}$$

- f_{vk} = rezistența caracteristica de rupere în rost orizontal $f_{vk} = f_{vk0} + 0.4\sigma_d < 0.065f_b = 0.325 \text{ N/mm}^2$
- rezistența caracteristica la forfecare cu efort unitar de compresiune cu efort unitar de compresiune nulă a zidăriei $f_{vk0} = 0.20 \text{ N/mm}^2$, (tb 4.5.- CR6/2010)

Pentru o valoare minimă $\sigma_d = 0,30$ rezulta $f_{vk} = 0,32 \text{ N/mm}^2$.

Pentru coeficientul parțial de siguranță se alege valoarea $\gamma_M = 2.7$ (zidarii vechi cu caramizi presate și mortar de var-ciment / ciment-var, orientativ între anii 1900-1950)

Valoarea rezistenței de proiectare pentru pereții solicitați la forță tăietoare cu rupere prin luncare în rost orizontal rezultă:

$$f_{vd} = \frac{1,3 \cdot 0,32 \text{ N/mm}^2}{2,7 \cdot 1,35} \Rightarrow f_{vd} = 0,11 \text{ N/mm}^2$$

Rezistența de proiectare pentru pereții solicitați la forță tăietoare cu rupere în scară sub efectul eforturilor principale de întindere, f_{td} , se determină cu relația:

$$f_{td} = \frac{0,04 \cdot f_m}{\gamma_M \cdot CF} = \frac{0,04 \cdot 1,3 \cdot f_k}{\gamma_M \cdot CF}$$

Valoarea rezistenței de proiectare pentru pereții solicitați la forță tăietoare cu rupere în scară sub efectul eforturilor principale de întindere rezultă:

$$f_{td} = \frac{0,04 \cdot 1,3 \cdot 1.8 \text{ N/mm}^2}{2,7 \cdot 1,35} \Rightarrow f_{td} = 0,026 \text{ N/mm}^2$$

Caracteristici mecanice pentru materiale

| Material | Denumire material în program de calcul | Modul de elasticitate E longitudinal | Modul de elasticitate G transversal |
|----------|--|--|-------------------------------------|
| Zidărie | ZID_REZ_DIN | $1000 \cdot f_k = 2920 \text{ N/mm}^2$ | $0.4 \cdot E = 1168 \text{ N/mm}^2$ |
| | ZID_REZ_SLU | $500 \cdot f_k = 1460 \text{ N/mm}^2$ | $0.4 \cdot E = 584 \text{ N/mm}^2$ |
| | ZID_REZ_SLS | $800 \cdot f_k = 2336 \text{ N/mm}^2$ | $0.4 \cdot E = 934 \text{ N/mm}^2$ |

Calculul rezistenței pereților în lungul lor se face cu relațiile din Anexa D a codului P100-3/2019

Forța tăietoare asociată cedării prin compresiune excentrică a unui perete de zidărie nearmată solicitat de forță axială de proiectare N_d se calculează cu relația:

$$V_{f1} = \frac{N_d}{c_p \lambda_p} (1 - 1.15 \nu_d) \quad \text{în care } \lambda_p = \frac{H_p}{l_w} \text{ factorul de formă al peretelui de zidărie cu}$$

$$\lambda_p = \frac{H_p}{l_w} \text{ factorul de formă al peretelui de zidărie cu}$$

- H_p - înălțimea peretelui;
- l_w - lungimea peretelui;
- c_p - coeficient care depinde de condițiile de fixare la extremități ale peretelui:
 - $c_p = 2.0$ pentru perete consolă (montant);
 - $c_p = 1.0$ pentru perete dublu încastrat la extremități (spalet);

$$\sigma_0 = \frac{N_d}{t l_w} \text{ - efortul unitar de compresiune pentru forță axială de proiectare cu:}$$

$$t - grosimea peretelui și \nu_d = \frac{\sigma_0}{f_d}$$

Capacitatea de rezistență la forță tăietoare a peretelui de zidărie nearmată este dată de relația

$$V_{f2} = \min (V_{f21}, V_{f22}) \quad \text{unde:}$$

I. Valoarea de proiectare a forței tăietoare de rupere prin luncare în rostul orizontal:

$$V_{f21} = \frac{1.33}{CF\gamma_M} \left(f_{vk0} \frac{l_{ad}}{l_c} + 0.4 \sigma_d \right) t l_c$$

$$\text{unde } l_{ad} = 2l_c - l_w \text{ și } l_c = 1.5l_w - 3 \frac{M_d}{N_d}$$

Dacă $l_{ad} \leq 0$ valoarea de proiectare a forței tăietoare de rupere se calculează cu relația

$$V_{f21}^* = 1.33 \times 0.4 \frac{N_d}{CF\gamma_M} = 0.53 \frac{N_d}{CF\gamma_M}$$

II. Valoarea de proiectare a forței tăietoare de rupere prin fisurare diagonală:

$$V_{f22} = \frac{t l_w f_{td}}{b} \sqrt{1 + \frac{\sigma_0}{f_{td}}}$$

unde

- coeficientul b se ia $1.00 \leq b = \lambda_p \leq 1.5$;
- f_{td} - rezistență de proiectare a zidăriei la eforturi principale de întindere.
- $CF=1,35$
- $\gamma_M=2,7$ (pentru zidarii vechi cu caramizi presate și mortar de var-ciment / ciment-var, orientativ intre anii 1900-1950)

Capacitatea de rezistență unui perete din zidărie nearmată este egală cu minimul dintre V_{f1} și V_{f2} . Pereții la care capacitatea este dată de cedarea la compresiune sunt definiți ca pereți cu comportare ductilă, iar cei la care cedarea este la forță tăietoare sunt definiți ca pereți cu comportare fragilă.

In ceea ce priveste tronsoanele 1 si 5, avand in vedere ca acestea au fost consolidate robust, prin camasuirea peretilor si realizarea unor centuri exterioare la nivelul planseelor, indicatorul R3 pentru aceste tronsoane se considera cuprins 65%-89%.

- Tronson 2, directia X seism pozitiv

| PERETI DIRECTIA X INCOVIOARE - SEISM POZITIV | | | | | | | | | | | | | | R3 |
|--|------------|--------|-------------|----------------|---------------|------------|-------------|-------------|--------------|--------------|-------|---------|-------|----|
| hw [mm] | bw [mm] | Pereți | Ned [KN] | fd [N/mm^2] | Azc [mm^2] | lw [mm] | lcw [mm] | yzc [mm] | Mrd [KNm] | Med [KNm] | % K | Mrd/Med | | |
| 13200 | 750 | P1 | 173 | 1.73 | 117576 | 2100 | 157 | 972 | 168 | 229 | 1.3% | 0.73 | 0.010 | |
| 13200 | 750 | P2 | 347 | 1.73 | 236159 | 2100 | 315 | 893 | 310 | 200 | 1.2% | 1.55 | 0.018 | |
| 13200 | 750 | P3 | 373 | 1.73 | 253441 | 2100 | 338 | 881 | 328 | 201 | 1.2% | 1.63 | 0.019 | |
| 13200 | 750 | P4 | 392 | 1.73 | 266761 | 2100 | 356 | 872 | 342 | 200 | 1.1% | 1.71 | 0.020 | |
| 13200 | 750 | P5 | 473 | 1.73 | 321633 | 2100 | 429 | 836 | 395 | 196 | 1.1% | 2.01 | 0.023 | |
| 13200 | 750 | P6 | 474 | 1.73 | 322229 | 2100 | 430 | 835 | 396 | 283 | 1.6% | 1.40 | 0.023 | |
| 13200 | 600 | P7 | 2352 | 1.73 | 1599305 | 7800 | 2666 | 2567 | 6038 | 5693 | 32.8% | 1.06 | 0.348 | |
| 13200 | 600 | P8 | 2668 | 1.73 | 1814507 | 9800 | 3024 | 3388 | 9040 | 9453 | 54.4% | 0.96 | 0.520 | |
| 13200 | 750 | P9 | 72 | 1.73 | 48695 | 1300 | 65 | 618 | 44 | 153 | 0.9% | 0.29 | 0.003 | |
| 13200 | 750 | P10 | 669 | 1.73 | 455181 | 2100 | 607 | 747 | 500 | 205 | 1.2% | 2.43 | 0.029 | |
| 13200 | 750 | P11 | 313 | 1.73 | 212530 | 1200 | 283 | 458 | 143 | 33 | 0.2% | 4.37 | 0.008 | |
| 13200 | 750 | P12 | 257 | 1.73 | 174450 | 1200 | 233 | 484 | 124 | 32 | 0.2% | 3.93 | 0.007 | |
| 13200 | 750 | P13 | 354 | 1.73 | 240395 | 1200 | 321 | 440 | 155 | 140 | 0.8% | 1.11 | 0.009 | |
| 13200 | 750 | P14 | 263 | 1.73 | 178844 | 1200 | 238 | 481 | 126 | 31 | 0.2% | 4.07 | 0.007 | |
| 13200 | 750 | P15 | 225 | 1.73 | 153344 | 1200 | 204 | 498 | 112 | 33 | 0.2% | 3.45 | 0.006 | |
| 13200 | 750 | P16 | 129 | 1.73 | 87448 | 2100 | 117 | 992 | 128 | 285 | 1.6% | 0.45 | 0.007 | |

R3 global= 1.06

| VERIFICARE FORTA TAIETOARE - DIRECTIA X SEISM POZITIV | | | | | | | | | | | | | | | | R3 | | | |
|---|------------|------------|----------------|---------------|------------------|------------------|-------|-------------|-------|------|------|-------------|-------------|------------|-------------|--------------|----------------|--------------|--------|
| Pereți | lw [mm] | lc [mm] | lad.ef [mm] | lad.c [mm] | fVKo [N/mm^2] | fVtd [N/mm^2] | σd | V21 [KN] | h/lw | b | σv | V22 [KN] | Vf1 [KN] | Vf [KN] | Ved [KN] | VRd2 [KN] | % K zidarie | % K total | Vf/Ved |
| P1 | 2100 | -831 | -3762 | 0 | 0.2 | 0.026 | -0.28 | 25 | 6.29 | 1.50 | 0.11 | 62 | 13 | 13 | 70 | 2.1% | 1.4% | 0.18 | 0.004 |
| P2 | 2100 | 1424 | 748 | 748 | 0.2 | 0.026 | 0.33 | 92 | 6.29 | 1.50 | 0.22 | 84 | 24 | 24 | 40 | 1.2% | 0.8% | 0.60 | 0.007 |
| P3 | 2100 | 1533 | 965 | 965 | 0.2 | 0.026 | 0.32 | 107 | 6.29 | 1.50 | 0.24 | 87 | 25 | 25 | 39 | 1.2% | 0.8% | 0.63 | 0.008 |
| P4 | 2100 | 1624 | 1148 | 1148 | 0.2 | 0.026 | 0.32 | 120 | 6.29 | 1.50 | 0.25 | 89 | 26 | 26 | 38 | 1.2% | 0.7% | 0.69 | 0.008 |
| P5 | 2100 | 1906 | 1711 | 1711 | 0.2 | 0.026 | 0.33 | 163 | 6.29 | 1.50 | 0.30 | 97 | 30 | 30 | 32 | 1.0% | 0.6% | 0.95 | 0.009 |
| P6 | 2100 | 1356 | 612 | 612 | 0.2 | 0.026 | 0.47 | 103 | 6.29 | 1.50 | 0.30 | 97 | 30 | 30 | 102 | 3.1% | 2.0% | 0.30 | 0.009 |
| P7 | 7800 | 4438 | 1075 | 1075 | 0.2 | 0.026 | 0.88 | 390 | 1.69 | 1.50 | 0.50 | 366 | 463 | 366 | 1144 | 35.0% | 22.7% | 0.32 | 0.112 |
| P8 | 9800 | 4071 | -1658 | 0 | 0.2 | 0.026 | 1.09 | 388 | 1.35 | 1.35 | 0.45 | 488 | 692 | 388 | 1461 | 44.6% | 28.9% | 0.27 | 0.119 |
| P9 | 1300 | -4457 | -10214 | 0 | 0.2 | 0.026 | -0.02 | 10 | 10.15 | 1.50 | 0.07 | 33 | 3 | 3 | 87 | 2.7% | 1.7% | 0.04 | 0.001 |
| P10 | 2100 | 2229 | 2359 | 0.2 | 0.026 | 0.40 | 227 | 6.29 | 1.50 | 0.42 | 114 | 38 | 38 | 91 | 2.8% | 1.8% | 0.42 | 0.012 | |
| P11 | 1200 | 1485 | 1770 | 1770 | 0.2 | 0.026 | 0.28 | 143 | 11.00 | 1.50 | 0.35 | 59 | 11 | 11 | 0 | 0.0% | 0.0% | 22.29 | 0.003 |
| P12 | 1200 | 1431 | 1662 | 0.2 | 0.026 | 0.24 | 128 | 11.00 | 1.50 | 0.29 | 54 | 9 | 9 | 7 | 0.2% | 0.1% | 1.29 | 0.003 | |
| P13 | 1200 | 609 | 18 | 18 | 0.2 | 0.026 | 0.77 | 53 | 11.00 | 1.50 | 0.39 | 63 | 12 | 12 | 18 | 0.6% | 0.4% | 0.65 | 0.004 |
| P14 | 1200 | 1445 | 1691 | 1691 | 0.2 | 0.026 | 0.24 | 131 | 11.00 | 1.50 | 0.29 | 55 | 10 | 10 | 4 | 0.1% | 0.1% | 2.20 | 0.003 |
| P15 | 1200 | 1367 | 1535 | 1535 | 0.2 | 0.026 | 0.22 | 117 | 11.00 | 1.50 | 0.25 | 51 | 9 | 9 | 5 | 0.1% | 0.1% | 1.80 | 0.003 |
| P16 | 2100 | -3502 | -9103 | 0 | 0.2 | 0.026 | -0.05 | 19 | 6.29 | 1.50 | 0.08 | 56 | 10 | 10 | 134 | 4.1% | 2.7% | 0.07 | 0.003 |

R3 global= 0.473

- Tronson 2, directia X seism negativ

| PERETI DIRECTIA X INCOVIOARE - SEISM NEGATIV | | | | | | | | | | | | | | R3 |
|--|------------|--------|-------------|----------------|---------------|------------|-------------|-------------|--------------|--------------|-------|---------|-------|----|
| hw [mm] | bw [mm] | Pereți | Ned [KN] | fd [N/mm^2] | Azc [mm^2] | lw [mm] | lcw [mm] | yzc [mm] | Mrd [KNm] | Med [KNm] | % K | Mrd/Med | | |
| 13200 | 750 | P1 | 524 | 1.73 | 356268 | 2100 | 475 | 812 | 426 | 282 | 1.8% | 1.51 | 0.028 | |
| 13200 | 750 | P2 | 380 | 1.73 | 258243 | 2100 | 344 | 878 | 333 | 193 | 1.2% | 1.73 | 0.022 | |
| 13200 | 750 | P3 | 373 | 1.73 | 253463 | 2100 | 338 | 881 | 328 | 193 | 1.2% | 1.71 | 0.021 | |
| 13200 | 750 | P4 | 363 | 1.73 | 246716 | 2100 | 329 | 886 | 321 | 191 | 1.2% | 1.68 | 0.021 | |
| 13200 | 750 | P5 | 311 | 1.73 | 211396 | 2100 | 282 | 906 | 283 | 188 | 1.2% | 1.50 | 0.018 | |
| 13200 | 750 | P6 | 287 | 1.73 | 195501 | 2100 | 261 | 920 | 264 | 204 | 1.3% | 1.30 | 0.017 | |
| 13200 | 600 | P7 | 816 | 1.73 | 554743 | 7800 | 925 | 3438 | 2804 | 4756 | 30.7% | 0.59 | 0.181 | |
| 13200 | 600 | P8 | 1589 | 1.73 | 1080578 | 9800 | 1801 | 4000 | 6355 | 8594 | 55.5% | 0.74 | 0.411 | |
| 13200 | 750 | P9 | 413 | 1.73 | 280576 | 1300 | 374 | 463 | 191 | 142 | 0.9% | 1.35 | 0.012 | |
| 13200 | 750 | P10 | 21 | 1.73 | 13984 | 2100 | 19 | 1041 | 21 | 269 | 1.7% | 0.08 | 0.001 | |
| 13200 | 750 | P11 | 151 | 1.73 | 103013 | 1200 | 137 | 531 | 80 | 34 | 0.2% | 2.35 | 0.005 | |
| 13200 | 750 | P12 | 233 | 1.73 | 158175 | 1200 | 211 | 495 | 115 | 30 | 0.2% | 3.86 | 0.007 | |
| 13200 | 750 | P13 | 350 | 1.73 | 238307 | 1200 | 318 | 441 | 155 | 136 | 0.9% | 1.13 | 0.010 | |
| 13200 | 750 | P14 | 204 | 1.73 | 139038 | 1200 | 185 | 507 | 104 | 31 | 0.2% | 3.30 | 0.007 | |
| 13200 | 750 | P15 | 271 | 1.73 | 184059 | 1200 | 245 | 477 | 129 | 30 | 0.2% | 4.28 | 0.008 | |
| 13200 | 750 | P16 | 585 | 1.73 | 397993 | 2100 | 531 | 785 | 459 | 204 | 1.3% | 2.25 | 0.030 | |

R3 global= 0.80

| VERIFICARE FORTA TAIETOARE - DIRECTIA X SEISM NEGATIV | | | | | | | | | | | | | | | | | | | | |
|---|------|--------|--------|-------|----------|----------|-------|------|-------|------|------|------|------|------|------|------|-------------|-----------|--------|-------|
| Perete | lw | lc | lad.ef | lad.c | fVko | fVtd | σd | Vf21 | h/lw | b | σo | Vf22 | Vfl | Vf | Ved | VRd2 | % K zidarie | % K total | Vf/Ved | R3 |
| | [mm] | [mm] | [mm] | [mm] | [N/mm^2] | [N/mm^2] | | [KN] | | | | [KN] | [KN] | [KN] | [KN] | [KN] | | | | |
| P1 | 2100 | 1535 | 969 | 969 | 0.2 | 0.026 | 0.46 | 130 | 6.29 | 1.50 | 0.33 | 101 | 32 | 32 | 115 | | 3.5% | 1.7% | 0.28 | 0.010 |
| P2 | 2100 | 1629 | 1158 | 1158 | 0.2 | 0.026 | 0.31 | 119 | 6.29 | 1.50 | 0.24 | 88 | 25 | 25 | 44 | | 1.4% | 0.7% | 0.57 | 0.008 |
| P3 | 2100 | 1600 | 1100 | 1100 | 0.2 | 0.026 | 0.31 | 115 | 6.29 | 1.50 | 0.24 | 87 | 25 | 25 | 39 | | 1.2% | 0.6% | 0.63 | 0.008 |
| P4 | 2100 | 1570 | 1041 | 1041 | 0.2 | 0.026 | 0.31 | 110 | 6.29 | 1.50 | 0.23 | 86 | 24 | 24 | 38 | | 1.2% | 0.6% | 0.65 | 0.007 |
| P5 | 2100 | 1334 | 568 | 568 | 0.2 | 0.026 | 0.31 | 76 | 6.29 | 1.50 | 0.20 | 80 | 21 | 21 | 28 | | 0.8% | 0.4% | 0.78 | 0.007 |
| P6 | 2100 | 1021 | -59 | 0 | 0.2 | 0.026 | 0.38 | 42 | 6.29 | 1.50 | 0.18 | 77 | 20 | 20 | 52 | | 1.6% | 0.8% | 0.38 | 0.006 |
| P7 | 7800 | -5792 | -19383 | 0 | 0.2 | 0.026 | -0.23 | 119 | 1.69 | 1.50 | 0.17 | 225 | 213 | 119 | 1206 | | 36.8% | 18.0% | 0.10 | 0.036 |
| P8 | 9800 | -1526 | -12852 | 0 | 0.2 | 0.026 | -1.74 | 231 | 1.35 | 1.35 | 0.27 | 383 | 484 | 231 | 1433 | | 43.8% | 21.4% | 0.16 | 0.071 |
| P9 | 1300 | 920 | 540 | 540 | 0.2 | 0.026 | 0.60 | 90 | 10.15 | 1.50 | 0.42 | 70 | 15 | 15 | 72 | | 2.2% | 1.1% | 0.20 | 0.004 |
| P10 | 2100 | -36126 | -74352 | 0 | 0.2 | 0.026 | 0.00 | 3 | 6.29 | 1.50 | 0.01 | 33 | 2 | 2 | 147 | | 4.5% | 2.2% | 0.01 | 0.000 |
| P11 | 1200 | 1121 | 1043 | 1043 | 0.2 | 0.026 | 0.18 | 79 | 11.00 | 1.50 | 0.17 | 43 | 6 | 6 | 4 | | 0.1% | 0.1% | 1.61 | 0.002 |
| P12 | 1200 | 1416 | 1632 | 1632 | 0.2 | 0.026 | 0.22 | 123 | 11.00 | 1.50 | 0.26 | 52 | 9 | 9 | 8 | | 0.2% | 0.1% | 1.11 | 0.003 |
| P13 | 1200 | 632 | 65 | 65 | 0.2 | 0.026 | 0.74 | 55 | 11.00 | 1.50 | 0.39 | 62 | 12 | 12 | 19 | | 0.6% | 0.3% | 0.61 | 0.004 |
| P14 | 1200 | 1339 | 1478 | 1478 | 0.2 | 0.026 | 0.20 | 111 | 11.00 | 1.50 | 0.23 | 49 | 8 | 8 | 5 | | 0.1% | 0.1% | 1.65 | 0.002 |
| P15 | 1200 | 1465 | 1731 | 1731 | 0.2 | 0.026 | 0.25 | 134 | 11.00 | 1.50 | 0.30 | 55 | 10 | 10 | 8 | | 0.2% | 0.1% | 1.23 | 0.003 |
| P16 | 2100 | 2105 | 2111 | 2111 | 0.2 | 0.026 | 0.37 | 201 | 6.29 | 1.50 | 0.37 | 107 | 35 | 35 | 76 | | 2.3% | 1.1% | 0.46 | 0.011 |

R3 global= 0.369

- Tronson 2, directia Y seism pozitiv

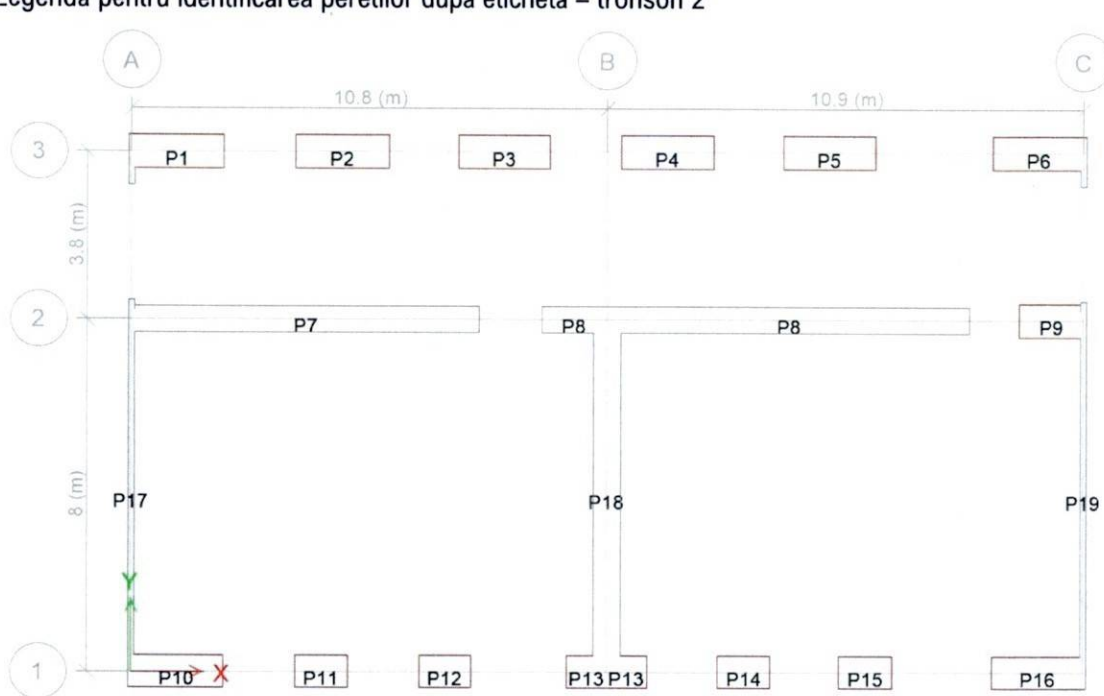
| PERETI DIRECTIA Y INCOVOIERE - SEISM POZITIV | | | | | | | | | | | | |
|--|------|--------|------|----------|--------|------|------|------|-------|-------|-------|---------|
| hw | bw | Perete | Ned | fd | Azc | lw | lcw | yze | Mrd | Med | % K | Mrd/Med |
| [mm] | [mm] | | [KN] | [N/mm^2] | [mm^2] | [mm] | [mm] | [mm] | [KNm] | [KNm] | | |
| 13200 | 600 | P18 | 1435 | 1.73 | 976097 | 8500 | 1627 | 3437 | 4933 | 3360 | 24.2% | 1.47 |

| VERIFICARE FORTA TAIETOARE - DIRECTIA Y SEISM POZITIV | | | | | | | | | | | | | | | | | | | |
|---|------|------|--------|-------|----------|----------|------|------|------|------|------|------|------|------|------|------|-------------|-----------|--------|
| Perete | lw | lc | lad.ef | lad.c | fVko | fVtd | σd | Vf21 | h/lw | b | σo | Vf22 | Vfl | Vf | Ved | VRd2 | % K zidarie | % K total | Vf/Ved |
| | [mm] | [mm] | [mm] | [mm] | [N/mm^2] | [N/mm^2] | | [KN] | | | | [KN] | [KN] | [KN] | [KN] | [KN] | | | |
| P18 | 8500 | 5727 | 2954 | 2954 | 0.2 | 0.026 | 0.42 | 366 | 1.55 | 1.50 | 0.28 | 304 | 376 | 304 | 870 | | 22.5% | 17.2% | 0.35 |

- Tronson 2, directia Y seism negativ

| PERETI DIRECTIA Y INCOVOIERE - SEISM NEGATIV | | | | | | | | | | | | |
|--|------|--------|------|----------|---------|------|------|------|-------|-------|-------|---------|
| hw | bw | Perete | Ned | fd | Azc | lw | lcw | yze | Mrd | Med | % K | Mrd/Med |
| [mm] | [mm] | | [KN] | [N/mm^2] | [mm^2] | [mm] | [mm] | [mm] | [KNm] | [KNm] | | |
| 13200 | 600 | P18 | 1677 | 1.73 | 1140341 | 8500 | 1901 | 3300 | 5533 | 3260 | 23.6% | 1.70 |

| VERIFICARE FORTA TAIETOARE - DIRECTIA Y SEISM NEGATIV | | | | | | | | | | | | | | | | | | | |
|---|------|------|--------|-------|----------|----------|------|------|------|------|------|------|------|------|------|------|-------------|-----------|--------|
| Perete | lw | lc | lad.ef | lad.c | fVko | fVtd | σd | Vf21 | h/lw | b | σo | Vf22 | Vfl | Vf | Ved | VRd2 | % K zidarie | % K total | Vf/Ved |
| | [mm] | [mm] | [mm] | [mm] | [N/mm^2] | [N/mm^2] | | [KN] | | | | [KN] | [KN] | [KN] | [KN] | [KN] | | | |
| P18 | 8500 | 6917 | 5335 | 5335 | 0.2 | 0.026 | 0.40 | 581 | 1.55 | 1.50 | 0.33 | 327 | 422 | 327 | 888 | | 22.9% | 17.6% | 0.37 |



- Tronson 3, directia X seism pozitiv

| hw [mm] | bw [mm] | Perete | PERETI DIRECTIA X INCVOIERE - SEISM POZITIV | | | | | | | | | | | | R3 |
|------------|------------|--------|---|----------------|---------------|------------|-------------|-------------|--------------|--------------|-------|---------|-------|--|----|
| | | | Ned [KN] | fd [N/mm^2] | Azc [mm^2] | Iw [mm] | Icw [mm] | yzc [mm] | Mrd [KNm] | Med [KNm] | % K | Mrd/Med | | | |
| | | | [KN] | [N/mm^2] | [mm^2] | [mm] | [mm] | [mm] | [KNm] | [KNm] | | | | | |
| 13200 | 750 | P1 | 311 | 1.73 | 211460 | 4700 | 282 | 2209 | 687 | 999 | 8.0% | 0.69 | 0.055 | | |
| 13200 | 750 | P2 | 98 | 1.73 | 66506 | 1800 | 89 | 856 | 84 | 27 | 0.2% | 3.10 | 0.007 | | |
| 13200 | 750 | P3 | 333 | 1.73 | 226269 | 1800 | 302 | 749 | 249 | 130 | 1.0% | 1.91 | 0.020 | | |
| 13200 | 750 | P4 | 73 | 1.73 | 49362 | 4700 | 66 | 2317 | 168 | 10 | 0.1% | 16.84 | 0.013 | | |
| 13200 | 600 | P5 | 2215 | 1.73 | 1506074 | 7450 | 2510 | 2470 | 5470 | 4940 | 39.4% | 1.11 | 0.437 | | |
| 13200 | 600 | P6 | 774 | 1.73 | 526105 | 7720 | 877 | 3422 | 2647 | 4651 | 37.1% | 0.57 | 0.211 | | |
| 13200 | 750 | P7 | 710 | 1.73 | 483014 | 2700 | 644 | 1028 | 730 | 494 | 3.9% | 1.48 | 0.058 | | |
| 13200 | 750 | P8 | 510 | 1.73 | 346714 | 2700 | 462 | 1119 | 570 | 501 | 4.0% | 1.14 | 0.046 | | |
| 13200 | 750 | P9 | 634 | 1.73 | 430978 | 2700 | 575 | 1063 | 673 | 86 | 0.7% | 7.82 | 0.054 | | |
| 13200 | 750 | P10 | 175 | 1.73 | 118820 | 2700 | 158 | 1271 | 222 | 687 | 5.5% | 0.32 | 0.018 | | |

R3 global= 0.92

| Perete | Iw [mm] | lc [mm] | lad.ef [mm] | lad.c [mm] | fvko [N/mm^2] | fvtd [N/mm^2] | σd [KN] | V121 | | h/lw | b | σo [KN] | V122 | | Vf [KN] | Ved [KN] | VRd2 [KN] | % K zidarie | % K total | Vf/Ved | R3 |
|--------|------------|------------|----------------|---------------|------------------|------------------|------------|------|------|------|------|------------|------------|-------------|------------|-------------|--------------|----------------|--------------|--------|-------|
| | | | | | | | | h/lw | b | | | | Vf [KN] | Ved [KN] | | | | | | | |
| | | | | | | | | [KN] | [KN] | | | | [KN] | [KN] | | | | | | | |
| P1 | 4700 | -2593 | -9885 | 0 | 0.2 | 0.026 | -0.16 | 49 | 2.81 | 1.50 | 0.09 | 128 | 52 | 49 | 402 | | | 11.1% | 5.1% | 0.12 | 0.014 |
| P2 | 1800 | 1872 | 1943 | 1943 | 0.2 | 0.026 | 0.07 | 130 | 7.33 | 1.50 | 0.07 | 46 | 6 | 6 | 0 | | | 0.0% | 0.0% | 97.05 | 0.002 |
| P3 | 1800 | 1525 | 1250 | 1250 | 0.2 | 0.026 | 0.29 | 126 | 7.33 | 1.50 | 0.25 | 76 | 19 | 19 | 23 | | | 0.6% | 0.3% | 0.83 | 0.005 |
| P4 | 4700 | 6637 | 8574 | 8574 | 0.2 | 0.026 | 0.01 | 518 | 2.81 | 1.50 | 0.02 | 82 | 13 | 13 | 37 | | | 1.0% | 0.5% | 0.35 | 0.004 |
| P5 | 7450 | 4483 | 1517 | 1517 | 0.2 | 0.026 | 0.82 | 421 | 1.77 | 1.50 | 0.50 | 347 | 419 | 347 | 1146 | | | 31.7% | 14.6% | 0.30 | 0.096 |
| P6 | 7720 | -6457 | -20634 | 0 | 0.2 | 0.026 | -0.20 | 121 | 1.71 | 1.50 | 0.17 | 219 | 201 | 121 | 1285 | | | 35.6% | 16.4% | 0.09 | 0.034 |
| P7 | 2700 | 1964 | 1227 | 1227 | 0.2 | 0.026 | 0.48 | 185 | 4.89 | 1.50 | 0.35 | 134 | 56 | 56 | 189 | | | 5.2% | 2.4% | 0.30 | 0.015 |
| P8 | 2700 | 1101 | -497 | 0 | 0.2 | 0.026 | 0.62 | 80 | 4.89 | 1.50 | 0.25 | 115 | 43 | 43 | 99 | | | 2.7% | 1.3% | 0.44 | 0.012 |
| P9 | 2700 | 3643 | 4585 | 4585 | 0.2 | 0.026 | 0.23 | 371 | 4.89 | 1.50 | 0.31 | 127 | 51 | 51 | 71 | | | 2.0% | 0.9% | 0.72 | 0.014 |
| P10 | 2700 | -7744 | -18188 | 0 | 0.2 | 0.026 | -0.03 | 27 | 4.89 | 1.50 | 0.09 | 73 | 17 | 17 | 363 | | | 10.0% | 4.6% | 0.05 | 0.005 |

R3 global= 0.434

- Tronson 3, directia X seism negativ

| Perete | Iw [mm] | lc [mm] | lad.ef [mm] | lad.c [mm] | fvko [N/mm^2] | fvtd [N/mm^2] | σd [KN] | V121 | | h/lw | b | σo [KN] | V122 | | Vf [KN] | Ved [KN] | VRd2 [KN] | % K zidarie | % K total | Vf/Ved | R3 | |
|--------|------------|------------|----------------|---------------|------------------|------------------|------------|------|------|------|------|------------|------------|-------------|------------|-------------|--------------|----------------|--------------|--------|----|--|
| | | | | | | | | h/lw | b | | | | Vf [KN] | Ved [KN] | | | | | | | | |
| | | | | | | | | [KN] | [KN] | | | | [KN] | [KN] | | | | | | | | |
| P1 | 13200 | 750 | P1 | 1122 | 1.73 | 762671 | 4700 | 1017 | 1842 | 2065 | 1044 | 8.0% | 1.98 | | | | | | | | | |
| P2 | 13200 | 750 | P2 | 271 | 1.73 | 184215 | 1800 | 246 | 777 | 211 | 23 | 0.2% | 9.22 | | | | | | | | | |
| P3 | 13200 | 750 | P3 | 325 | 1.73 | 220888 | 1800 | 295 | 753 | 245 | 132 | 1.0% | 1.85 | | | | | | | | | |
| P4 | 13200 | 750 | P4 | 222 | 1.73 | 151230 | 4700 | 202 | 2249 | 500 | 15 | 0.1% | 32.91 | | | | | | | | | |
| P5 | 13200 | 600 | P5 | 663 | 1.73 | 451053 | 7450 | 752 | 3349 | 2221 | 4700 | 36.1% | 0.47 | | | | | | | | | |
| P6 | 13200 | 600 | P6 | 2311 | 1.73 | 1571765 | 7720 | 2620 | 2550 | 5894 | 5143 | 39.5% | 1.15 | 0.453 | | | | | | | | |
| P7 | 13200 | 750 | P7 | 312 | 1.73 | 212374 | 2700 | 283 | 1208 | 377 | 610 | 4.7% | 0.62 | 0.029 | | | | | | | | |
| P8 | 13200 | 750 | P8 | 552 | 1.73 | 375547 | 2700 | 501 | 1100 | 607 | 490 | 3.8% | 1.24 | 0.047 | | | | | | | | |
| P9 | 13200 | 750 | P9 | 9 | 1.73 | 5883 | 2700 | 8 | 1346 | 12 | 107 | 0.8% | 0.11 | 0.001 | | | | | | | | |
| P10 | 13200 | 750 | P10 | 903 | 1.73 | 614148 | 2700 | 819 | 941 | 849 | 748 | 5.7% | 1.14 | 0.065 | | | | | | | | |

R3 global= 1.00

| Perete | Iw [mm] | lc [mm] | lad.ef [mm] | lad.c [mm] | fvko [N/mm^2] | fvtd [N/mm^2] | σd [KN] | V121 | | h/lw | b | σo [KN] | V122 | | Vf [KN] | Ved [KN] | VRd2 [KN] | % K zidarie | % K total | Vf/Ved | R3 |
|--------|------------|------------|----------------|---------------|------------------|------------------|------------|------|------|------|------|------------|------------|-------------|------------|-------------|--------------|----------------|--------------|--------|-------|
| | | | | | | | | h/lw | b | | | | Vf [KN] | Ved [KN] | | | | | | | |
| | | | | | | | | [KN] | [KN] | | | | [KN] | [KN] | | | | | | | |
| P1 | 4700 | 4256 | 3812 | 3812 | 0.2 | 0.026 | 0.35 | 372 | 2.81 | 1.50 | 0.32 | 222 | 157 | 157 | 484 | | | 13.4% | 6.2% | 0.33 | 0.044 |
| P2 | 1800 | 2447 | 3094 | 3094 | 0.2 | 0.026 | 0.15 | 209 | 7.33 | 1.50 | 0.20 | 69 | 16 | 16 | 36 | | | 1.0% | 0.5% | 0.45 | 0.004 |
| P3 | 1800 | 1477 | 1155 | 1155 | 0.2 | 0.026 | 0.29 | 111 | 7.33 | 1.50 | 0.24 | 75 | 19 | 19 | 22 | | | 0.6% | 0.3% | 0.84 | 0.005 |
| P4 | 4700 | 6845 | 8990 | 8990 | 0.2 | 0.026 | 0.04 | 525 | 2.81 | 1.50 | 0.06 | 113 | 38 | 38 | 64 | | | 1.8% | 0.8% | 0.59 | 0.010 |
| P5 | 7450 | -10081 | -27613 | 0 | 0.2 | 0.026 | -0.11 | 96 | 1.77 | 1.50 | 0.15 | 201 | 169 | 96 | 1183 | | | 32.7% | 15.1% | 0.08 | 0.027 |
| P6 | 7720 | 4904 | 2088 | 2088 | 0.2 | 0.026 | 0.79 | 429 | 1.71 | 1.50 | 0.50 | 361 | 452 | 361 | 1261 | | | 34.9% | 16.1% | 0.29 | 0.100 |
| P7 | 2700 | -1813 | -6325 | 0 | 0.2 | 0.026 | -0.23 | 45 | 4.89 | 1.50 | 0.15 | 92 | 29 | 29 | 204 | | | 5.6% | 2.6% | 0.14 | 0.008 |
| P8 | 2700 | 1386</td | | | | | | | | | | | | | | | | | | | |

| PERETI DIRECTIA Y INCOVOIERE - SEISM POZITIV | | | | | | | | | | | | | |
|--|------------|--------|-------------|----------------|---------------|------------|-------------|-------------|--------------|--------------|-------|---------|-------|
| hw [mm] | bw [mm] | Perete | Ned [KN] | fd [N/mm^2] | Aze [mm^2] | Iw [mm] | Icw [mm] | yzc [mm] | Mrd [KNm] | Med [KNm] | % K | Mrd/Med | R3 |
| 13200 | 750 | P11 | 502 | 1.73 | 341217 | 2575 | 455 | 1060 | 532 | 380 | 2.1% | 1.40 | 0.030 |
| 13200 | 750 | P12 | 738 | 1.73 | 501675 | 4200 | 669 | 1766 | 1302 | 317 | 1.8% | 4.11 | 0.073 |
| 13200 | 600 | P13 | 1146 | 1.73 | 779515 | 10150 | 1299 | 4425 | 5073 | 3199 | 18.0% | 1.59 | 0.286 |
| 13200 | 600 | P14 | 1071 | 1.73 | 728465 | 6700 | 1214 | 2743 | 2938 | 2241 | 12.6% | 1.31 | 0.166 |
| 13200 | 600 | P15 | 185 | 1.73 | 125679 | 1500 | 209 | 645 | 119 | 78 | 0.4% | 1.53 | 0.007 |
| 13200 | 600 | P16 | 1675 | 1.73 | 1139018 | 6000 | 1898 | 2051 | 3435 | 2134 | 12.0% | 1.61 | 0.194 |
| 13200 | 600 | P17 | 251 | 1.73 | 170674 | 1700 | 284 | 708 | 178 | 78 | 0.4% | 2.27 | 0.010 |
| 13200 | 600 | P18 | 1737 | 1.73 | 1180944 | 6000 | 1968 | 2016 | 3501 | 2127 | 12.0% | 1.65 | 0.197 |
| 13200 | 750 | P19 | 475 | 1.73 | 322986 | 2750 | 431 | 1160 | 551 | 380 | 2.1% | 1.45 | 0.031 |
| 13200 | 750 | P20 | 642 | 1.73 | 436304 | 4200 | 582 | 1809 | 1161 | 1406 | 7.9% | 0.83 | 0.065 |
| 13200 | 600 | P21 | 1646 | 1.73 | 1119665 | 10350 | 1866 | 4242 | 6984 | 5409 | 30.5% | 1.29 | 0.394 |

R3 global= 1.45

| VERIFICARE FORTA TAIETOARE - DIRECTIA Y SEISM POZITIV | | | | | | | | | | | | | | | | | | | |
|---|------------|------------|---------|---------------|------------------|------------------|-------|--------------|------|------|------|--------------|-------------|------------|-------------|----------------|--------------|--------|-------|
| Perete | Iw [mm] | lc [mm] | lad.e f | lad.c [mm] | fvko [N/mm^2] | fvtd [N/mm^2] | σd | Vf21 [KN] | h/lw | b | σo | Vf22 [KN] | Vf1 [KN] | Vf [KN] | Ved [KN] | % K zidarie | % K total | Vf/Ved | R3 |
| P17 | 2575 | 1589 | 603 | 603 | 0.2 | 0.026 | 0.42 | 115 | 5.13 | 1.50 | 0.26 | 111 | 40 | 40 | 126 | 2.4% | 1.6% | 0.32 | 0.008 |
| P18 | 4200 | 5012 | 5823 | 5823 | 0.2 | 0.026 | 0.20 | 461 | 3.14 | 1.50 | 0.23 | 173 | 99 | 99 | 188 | 3.6% | 2.4% | 0.53 | 0.019 |
| P19 | 10150 | 6853 | 3556 | 3556 | 0.2 | 0.026 | 0.28 | 349 | 1.30 | 1.30 | 0.19 | 349 | 386 | 349 | 1013 | 19.4% | 12.9% | 0.34 | 0.067 |
| P20 | 6700 | 3775 | 850 | 850 | 0.2 | 0.026 | 0.47 | 209 | 1.97 | 1.50 | 0.27 | 234 | 224 | 209 | 732 | 14.0% | 9.3% | 0.29 | 0.040 |
| P21 | 1500 | 986 | 473 | 473 | 0.2 | 0.026 | 0.31 | 51 | 8.80 | 1.50 | 0.21 | 47 | 9 | 9 | 56 | 1.1% | 0.7% | 0.16 | 0.002 |
| P22 | 6000 | 5178 | 4356 | 4356 | 0.2 | 0.026 | 0.54 | 470 | 2.20 | 1.50 | 0.47 | 271 | 263 | 263 | 508 | 9.7% | 6.5% | 0.52 | 0.050 |
| P23 | 1700 | 1614 | 1529 | 1529 | 0.2 | 0.026 | 0.26 | 112 | 7.76 | 1.50 | 0.25 | 57 | 14 | 14 | 53 | 1.0% | 0.7% | 0.25 | 0.003 |
| P24 | 6000 | 5325 | 4650 | 4650 | 0.2 | 0.026 | 0.54 | 494 | 2.20 | 1.50 | 0.48 | 276 | 268 | 268 | 516 | 9.9% | 6.6% | 0.52 | 0.051 |
| P25 | 2750 | 1725 | 701 | 701 | 0.2 | 0.026 | 0.37 | 116 | 4.80 | 1.50 | 0.23 | 112 | 42 | 42 | 131 | 2.5% | 1.7% | 0.32 | 0.008 |
| P26 | 4200 | -272 | -4744 | 0 | 0.2 | 0.026 | -3.14 | 101 | 3.14 | 1.50 | 0.20 | 162 | 88 | 88 | 471 | 9.0% | 6.0% | 0.19 | 0.017 |
| P27 | 10350 | 5670 | 990 | 990 | 0.2 | 0.026 | 0.48 | 306 | 1.28 | 1.28 | 0.27 | 424 | 532 | 306 | 1440 | 27.5% | 18.3% | 0.21 | 0.059 |

R3 global= 0.48

- Tronson 3, directia Y seism negativ

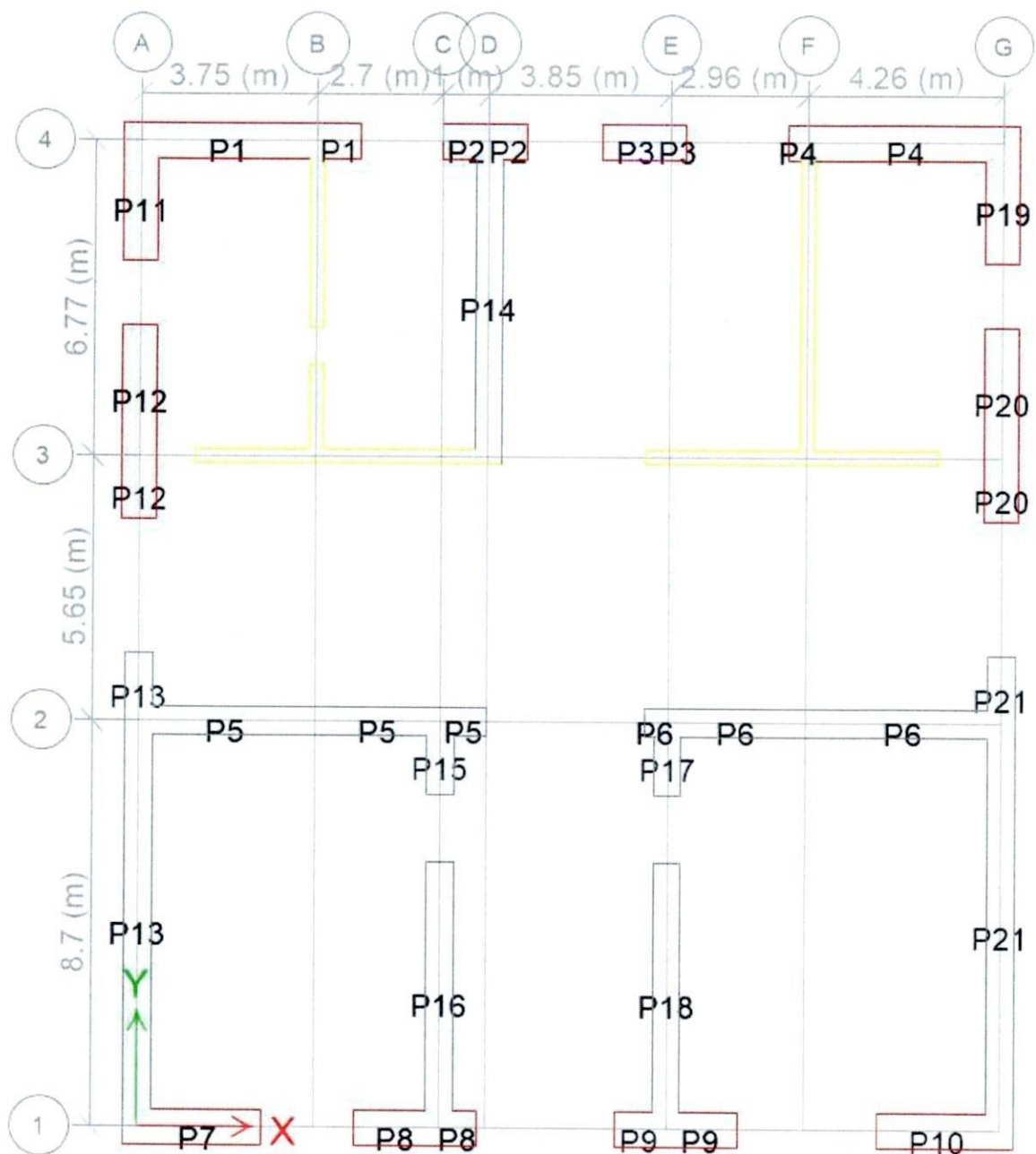
| PERETI DIRECTIA Y INCOVOIERE - SEISM NEGATIV | | | | | | | | | | | | | | | |
|--|------------|--------|-------------|----------------|---------------|------------|-------------|-------------|--------------|--------------|-------|---------|-------|--|--|
| hw [mm] | bw [mm] | Perete | Ned [KN] | fd [N/mm^2] | Azc [mm^2] | Iw [mm] | Icw [mm] | yzc [mm] | Mrd [KNm] | Med [KNm] | % K | Mrd/Med | R3 | | |
| 13200 | 750 | P11 | 413 | 1.73 | 280975 | 2575 | 375 | 1100 | 455 | 300 | 1.7% | 1.51 | 0.026 | | |
| 13200 | 750 | P12 | 260 | 1.73 | 176688 | 4200 | 236 | 1982 | 515 | 360 | 2.1% | 1.43 | 0.030 | | |
| 13200 | 600 | P13 | 1966 | 1.73 | 1336655 | 10150 | 2228 | 3961 | 7786 | 3111 | 17.9% | 2.50 | 0.447 | | |
| 13200 | 600 | P14 | 1622 | 1.73 | 1102859 | 6700 | 1838 | 2431 | 3942 | 2727 | 15.7% | 1.45 | 0.226 | | |
| 13200 | 600 | P15 | 413 | 1.73 | 280637 | 1500 | 468 | 516 | 213 | 77 | 0.4% | 2.75 | 0.012 | | |
| 13200 | 600 | P16 | 548 | 1.73 | 372682 | 6000 | 621 | 2689 | 1474 | 1930 | 11.1% | 0.76 | 0.085 | | |
| 13200 | 600 | P17 | 394 | 1.73 | 267794 | 1700 | 446 | 627 | 247 | 78 | 0.4% | 3.17 | 0.014 | | |
| 13200 | 600 | P18 | 560 | 1.73 | 380873 | 6000 | 635 | 2683 | 1502 | 1926 | 11.1% | 0.78 | 0.086 | | |
| 13200 | 750 | P19 | 427 | 1.73 | 290476 | 2750 | 387 | 1181 | 505 | 299 | 1.7% | 1.69 | 0.029 | | |
| 13200 | 750 | P20 | 929 | 1.73 | 631421 | 4200 | 842 | 1679 | 1559 | 1437 | 8.3% | 1.08 | 0.090 | | |
| 13200 | 600 | P21 | 1757 | 1.73 | 1194757 | 10350 | 1991 | 4179 | 7343 | 5173 | 29.7% | 1.42 | 0.422 | | |

R3 global= 1.47

| VERIFICARE FORTA TAIETOARE - DIRECTIA Y SEISM NEGATIV | | | | | | | | | | | | | | | | | | | |
|---|------------|------------|---------|---------------|------------------|------------------|-------|--------------|------|------|------|--------------|-------------|------------|-------------|----------------|--------------|--------|-------|
| Perete | Iw [mm] | lc [mm] | lad.e f | lad.c [mm] | fvko [N/mm^2] | fvtd [N/mm^2] | σd | Vf21 [KN] | h/lw | b | σo | Vf22 [KN] | Vf1 [KN] | Vf [KN] | Ved [KN] | % K zidarie | % K total | Vf/Ved | R3 |
| P11 | 2575 | 1684 | 792 | 792 | 0.2 | 0.026 | 0.33 | 126 | 5.13 | 1.50 | 0.21 | 102 | 35 | 35 | 124 | 2.3% | 1.6% | 0.28 | 0.007 |
| P12 | 4200 | 2144 | 88 | 88 | 0.2 | 0.026 | 0.16 | 52 | 3.14 | 1.50 | 0.08 | 112 | 39 | 39 | 136 | 2.6% | 1.7% | 0.29 | 0.007 |
| P13 | 10150 | 10477 | 10804 | 10804 | 0.2 | 0.026 | 0.31 | 923 | 1.30 | 1.30 | 0.32 | 446 | 594 | 446 | 1145 | 21.7% | 14.6% | 0.39 | 0.084 |
| P14 | 6700 | 5005 | 3310 | 3310 | 0.2 | 0.026 | 0.54 | 464 | 1.97 | 1.50 | 0.40 | 283 | 301 | 283 | 718 | 13.6% | 9.1% | 0.39 | 0.054 |
| P15 | 1500 | 1688 | 1876 | 1876 | 0.2 | 0.026 | 0.41 | 173 | 8.80 | 1.50 | 0.46 | 67 | 16 | 16 | 66 | 1.2% | 0.8% | 0.25 | 0.003 |
| P16 | 6000 | -1563 | -9127 | 0 | 0.2 | 0.026 | -0.58 | 97 | 2.20 | 1.50 | 0.15 | 163 | 112 | 97 | 489 | 9.3% | 6.2% | 0.20 | 0.018 |
| P17 | 1700 | 1957 | 2214 | 2214 | 0.2 | 0.026 | 0.34 | 188 | 7.76 | 1.50 | 0.39 | 70 | 19 | 19 | 61 | 1.2% | 0.8% | 0.31 | 0.004 |
| P18 | 6000 | -1318 | -8637 | 0 | 0.2 | 0.026 | -0.71 | 99 | 2.20 | 1.50 | 0.16 | 165 | 114 | 99 | 493 | 9.3% | 6.3% | 0.20 | 0.019 |
| P19 | 2750 | 2025 | 1300 | 1300 | 0.2 | 0.026 | 0.28 | 162 | 4.80 | 1.50 | 0.21 | 107 | 38 | 38 | 127 | 2.4% | 1.6% | 0.30 | 0.007 |
| P20 | 4200 | 1656 | -887 | 0 | 0.2 | 0.026 | 0.75 | 164 | 3.14 | 1.50 | 0.29 | 192 | 119 | 119 | 465 | 8.8% | 5.9% | 0.26 | 0.022 |
| P21 | 10350 | 6691 | 3033 | 3033 | 0.2 | 0.026 | 0.44 | 473 | 1.28 | 1.28 | 0.28 | 436 | 559 | 436 | 1459 | 27.6% | 18.6% | 0.30 | 0.083 |

R3 global= 0.458

- Legenda pentru identificarea peretilor dupa eticheta – tronson 3



- Tronson 4, directia X seism pozitiv

| hw [mm] | bw [mm] | Perete | PERETI DIRECTIA X INCOVORIERE - SEISM POZITIV | | | | | | | | | | | |
|------------|------------|--------|---|----------------|---------------|------------|-------------|-------------|--------------|--------------|-------|---------|-------|--|
| | | | Ned [KN] | fd [N/mm^2] | Aze [mm^2] | lw [mm] | lcw [mm] | yzc [mm] | Mrd [KNm] | Med [KNm] | % K | Mrd/Med | R3 | |
| 13200 | 750 | P1 | 523 | 1.73 | 355431 | 2100 | 474 | 813 | 425 | 282 | 1.8% | 1.51 | 0.027 | |
| 13200 | 750 | P2 | 379 | 1.73 | 258044 | 2100 | 344 | 878 | 333 | 195 | 1.2% | 1.71 | 0.021 | |
| 13200 | 750 | P3 | 373 | 1.73 | 253873 | 2100 | 338 | 881 | 329 | 195 | 1.2% | 1.69 | 0.021 | |
| 13200 | 750 | P4 | 364 | 1.73 | 247466 | 2100 | 330 | 885 | 322 | 192 | 1.2% | 1.68 | 0.021 | |
| 13200 | 750 | P5 | 304 | 1.73 | 207045 | 2100 | 276 | 912 | 278 | 186 | 1.2% | 1.50 | 0.018 | |
| 13200 | 750 | P6 | 293 | 1.73 | 199379 | 2100 | 266 | 917 | 269 | 190 | 1.2% | 1.42 | 0.017 | |
| 13200 | 600 | P7 | 806 | 1.73 | 548264 | 7800 | 914 | 3443 | 2776 | 4851 | 30.9% | 0.57 | 0.177 | |
| 13200 | 600 | P8 | 1601 | 1.73 | 1088737 | 9800 | 1815 | 3993 | 6392 | 8685 | 55.4% | 0.74 | 0.408 | |
| 13200 | 750 | P9 | 412 | 1.73 | 280102 | 1300 | 373 | 463 | 191 | 142 | 0.9% | 1.35 | 0.012 | |
| 13200 | 750 | P10 | 25 | 1.73 | 17251 | 2100 | 23 | 1038 | 26 | 281 | 1.8% | 0.09 | 0.002 | |
| 13200 | 750 | P11 | 158 | 1.73 | 107782 | 1200 | 144 | 528 | 84 | 37 | 0.2% | 2.25 | 0.005 | |
| 13200 | 750 | P12 | 234 | 1.73 | 159210 | 1200 | 212 | 494 | 116 | 32 | 0.2% | 3.58 | 0.007 | |
| 13200 | 750 | P13 | 354 | 1.73 | 240994 | 1200 | 321 | 439 | 156 | 144 | 0.9% | 1.08 | 0.010 | |
| 13200 | 750 | P14 | 203 | 1.73 | 137772 | 1200 | 184 | 508 | 103 | 34 | 0.2% | 3.06 | 0.007 | |
| 13200 | 750 | P15 | 269 | 1.73 | 182605 | 1200 | 243 | 478 | 128 | 32 | 0.2% | 4.03 | 0.008 | |
| 13200 | 750 | P16 | 587 | 1.73 | 399040 | 2100 | 532 | 784 | 460 | 199 | 1.3% | 2.32 | 0.029 | |

R3 global = 0.79

| Perete | VERIFICARE FORTA TAIETOARE -DIRECTIA X SEISM POZITIV | | | | | | | | | | | | | | | | | | | |
|--------|--|--------|--------|-------|----------|----------|-------|------|-------|------|------|------|------|------|------|------|-------------|-----------|--------|-------|
| | lw | lc | lad.ef | lad.c | fvko | fvtd | σd | Vf21 | h/lw | b | σo | Vf22 | Vf1 | Vf | Ved | VRd2 | % K zidarie | % K total | Vf/Ved | R3 |
| [mm] | [mm] | [mm] | [mm] | [mm] | [N/mm^2] | [N/mm^2] | [KN] | [KN] | | | | [KN] | [KN] | [KN] | [KN] | [KN] | | | | |
| P1 | 2100 | 1532 | 964 | 964 | 0.2 | 0.026 | 0.45 | 129 | 6.29 | 1.50 | 0.33 | 101 | 32 | 32 | 113 | | 3.5% | 1.8% | 0.29 | 0.010 |
| P2 | 2100 | 1608 | 1115 | 1115 | 0.2 | 0.026 | 0.31 | 116 | 6.29 | 1.50 | 0.24 | 87 | 25 | 25 | 44 | | 1.3% | 0.7% | 0.58 | 0.008 |
| P3 | 2100 | 1583 | 1066 | 1066 | 0.2 | 0.026 | 0.31 | 113 | 6.29 | 1.50 | 0.24 | 87 | 25 | 25 | 39 | | 1.2% | 0.6% | 0.64 | 0.008 |
| P4 | 2100 | 1568 | 1036 | 1036 | 0.2 | 0.026 | 0.31 | 110 | 6.29 | 1.50 | 0.23 | 86 | 25 | 25 | 37 | | 1.1% | 0.6% | 0.66 | 0.007 |
| P5 | 2100 | 1320 | 540 | 540 | 0.2 | 0.026 | 0.31 | 74 | 6.29 | 1.50 | 0.19 | 79 | 21 | 21 | 26 | | 0.8% | 0.4% | 0.81 | 0.006 |
| P6 | 2100 | 1207 | 313 | 313 | 0.2 | 0.026 | 0.32 | 60 | 6.29 | 1.50 | 0.19 | 78 | 20 | 20 | 43 | | 1.3% | 0.7% | 0.47 | 0.006 |
| P7 | 7800 | -6352 | -20503 | 0 | 0.2 | 0.026 | -0.21 | 117 | 1.69 | 1.50 | 0.17 | 224 | 211 | 117 | 1221 | | 37.3% | 19.4% | 0.10 | 0.036 |
| P8 | 9800 | -1574 | -12949 | 0 | 0.2 | 0.026 | -1.69 | 233 | 1.35 | 1.35 | 0.27 | 384 | 487 | 233 | 1412 | | 43.1% | 22.4% | 0.16 | 0.071 |
| P9 | 1300 | 918 | 536 | 536 | 0.2 | 0.026 | 0.60 | 89 | 10.15 | 1.50 | 0.42 | 70 | 15 | 15 | 71 | | 2.2% | 1.1% | 0.21 | 0.004 |
| P10 | 2100 | -30064 | -62227 | 0 | 0.2 | 0.026 | 0.00 | 4 | 6.29 | 1.50 | 0.02 | 35 | 2 | 2 | 150 | | 4.6% | 2.4% | 0.01 | 0.001 |
| P11 | 1200 | 1095 | 990 | 990 | 0.2 | 0.026 | 0.19 | 77 | 11.00 | 1.50 | 0.18 | 43 | 6 | 6 | 2 | | 0.1% | 0.0% | 2.71 | 0.002 |
| P12 | 1200 | 1386 | 1573 | 1573 | 0.2 | 0.026 | 0.23 | 120 | 11.00 | 1.50 | 0.26 | 52 | 9 | 9 | 9 | | 0.3% | 0.1% | 0.95 | 0.003 |
| P13 | 1200 | 582 | -37 | 0 | 0.2 | 0.026 | 0.81 | 52 | 11.00 | 1.50 | 0.39 | 63 | 12 | 12 | 20 | | 0.6% | 0.3% | 0.60 | 0.004 |
| P14 | 1200 | 1302 | 1403 | 1403 | 0.2 | 0.026 | 0.21 | 106 | 11.00 | 1.50 | 0.23 | 48 | 8 | 8 | 6 | | 0.2% | 0.1% | 1.34 | 0.002 |
| P15 | 1200 | 1444 | 1688 | 1688 | 0.2 | 0.026 | 0.25 | 132 | 11.00 | 1.50 | 0.30 | 55 | 10 | 10 | 9 | | 0.3% | 0.1% | 1.05 | 0.003 |
| P16 | 2100 | 2134 | 2169 | 2169 | 0.2 | 0.026 | 0.37 | 204 | 6.29 | 1.50 | 0.37 | 107 | 35 | 35 | 68 | | 2.1% | 1.1% | 0.51 | 0.011 |

R3 global= 0.350

- Tronson 4, directia X seism negativ

| PERETI DIRECTIA X INCVOIOIRE - SEISM NEGATIV | | | | | | | | | | | | | | | | | |
|--|------|--------|------|----------|---------|------|------|------|-------|-------|-------|---------|-------|--|--|--|--|
| hw | bw | Perete | Ned | fd | Azc | lw | lcw | yze | Mrd | Med | % K | Mrd/Med | R3 | | | | |
| [mm] | [mm] | | [KN] | [N/mm^2] | [mm^2] | [mm] | [mm] | [mm] | [KNm] | [KNm] | | | | | | | |
| 13200 | 750 | P1 | 173 | 1.73 | 117526 | 2100 | 157 | 972 | 168 | 215 | 1.2% | 0.78 | 0.010 | | | | |
| 13200 | 750 | P2 | 348 | 1.73 | 236972 | 2100 | 316 | 892 | 311 | 196 | 1.1% | 1.58 | 0.018 | | | | |
| 13200 | 750 | P3 | 374 | 1.73 | 254051 | 2100 | 339 | 881 | 329 | 201 | 1.1% | 1.63 | 0.019 | | | | |
| 13200 | 750 | P4 | 393 | 1.73 | 266937 | 2100 | 356 | 872 | 342 | 204 | 1.2% | 1.68 | 0.019 | | | | |
| 13200 | 750 | P5 | 482 | 1.73 | 327542 | 2100 | 437 | 832 | 401 | 202 | 1.1% | 1.99 | 0.023 | | | | |
| 13200 | 750 | P6 | 462 | 1.73 | 314482 | 2100 | 419 | 840 | 389 | 287 | 1.6% | 1.35 | 0.022 | | | | |
| 13200 | 600 | P7 | 2350 | 1.73 | 1598388 | 7800 | 2664 | 2568 | 6036 | 5707 | 32.5% | 1.06 | 0.343 | | | | |
| 13200 | 600 | P8 | 2676 | 1.73 | 1819772 | 9800 | 3033 | 3384 | 9054 | 9622 | 54.7% | 0.94 | 0.515 | | | | |
| 13200 | 750 | P9 | 61 | 1.73 | 41563 | 1300 | 55 | 622 | 38 | 165 | 0.9% | 0.23 | 0.002 | | | | |
| 13200 | 750 | P10 | 666 | 1.73 | 453159 | 2100 | 604 | 748 | 498 | 203 | 1.2% | 2.46 | 0.028 | | | | |
| 13200 | 750 | P11 | 312 | 1.73 | 211896 | 1200 | 283 | 459 | 143 | 35 | 0.2% | 4.13 | 0.008 | | | | |
| 13200 | 750 | P12 | 260 | 1.73 | 176492 | 1200 | 235 | 482 | 125 | 34 | 0.2% | 3.71 | 0.007 | | | | |
| 13200 | 750 | P13 | 353 | 1.73 | 239752 | 1200 | 320 | 440 | 155 | 149 | 0.8% | 1.04 | 0.009 | | | | |
| 13200 | 750 | P14 | 267 | 1.73 | 181653 | 1200 | 242 | 479 | 128 | 34 | 0.2% | 3.79 | 0.007 | | | | |
| 13200 | 750 | P15 | 236 | 1.73 | 160186 | 1200 | 214 | 493 | 116 | 35 | 0.2% | 3.29 | 0.007 | | | | |
| 13200 | 750 | P16 | 127 | 1.73 | 86631 | 2100 | 116 | 992 | 126 | 296 | 1.7% | 0.43 | 0.007 | | | | |

R3 global= 1.04

| VERIFICARE FORTA TAIETOARE -DIRECTIA X SEISM NEGATIV | | | | | | | | | | | | | | | | | | R3 | | |
|--|------|-------|--------|-------|----------|----------|-------|------|-------|------|------|------|------|------|------|------|-------------|-----------|--------|-------|
| Perete | lw | lc | lad.ef | lad.c | fvko | fvtd | σd | Vf21 | h/lw | b | σo | Vf22 | Vf1 | Vf | Ved | VRd2 | % K zidarie | % K total | Vf/Ved | R3 |
| [mm] | [mm] | [mm] | [mm] | [mm] | [N/mm^2] | [N/mm^2] | [KN] | [KN] | | | | [KN] | [KN] | [KN] | [KN] | [KN] | | | | |
| P1 | 2100 | -580 | -3260 | 0 | 0.2 | 0.026 | -0.40 | 25 | 6.29 | 1.50 | 0.11 | 62 | 13 | 13 | 62 | | 1.9% | 1.2% | 0.21 | 0.004 |
| P2 | 2100 | 1460 | 821 | 821 | 0.2 | 0.026 | 0.32 | 96 | 6.29 | 1.50 | 0.22 | 84 | 24 | 24 | 37 | | 1.1% | 0.7% | 0.63 | 0.007 |
| P3 | 2100 | 1534 | 968 | 968 | 0.2 | 0.026 | 0.32 | 107 | 6.29 | 1.50 | 0.24 | 87 | 25 | 25 | 39 | | 1.2% | 0.8% | 0.65 | 0.008 |
| P4 | 2100 | 1591 | 1083 | 1083 | 0.2 | 0.026 | 0.33 | 117 | 6.29 | 1.50 | 0.25 | 89 | 26 | 26 | 38 | | 1.2% | 0.7% | 0.69 | 0.008 |
| P5 | 2100 | 1894 | 1687 | 1687 | 0.2 | 0.026 | 0.34 | 163 | 6.29 | 1.50 | 0.31 | 98 | 31 | 31 | 31 | | 1.0% | 0.6% | 0.97 | 0.009 |
| P6 | 2100 | 1288 | 476 | 476 | 0.2 | 0.026 | 0.48 | 94 | 6.29 | 1.50 | 0.29 | 96 | 30 | 30 | 100 | | 3.1% | 2.0% | 0.30 | 0.009 |
| P7 | 7800 | 4416 | 1031 | 1031 | 0.2 | 0.026 | 0.89 | 388 | 1.69 | 1.50 | 0.50 | 366 | 463 | 366 | 1092 | | 33.4% | 21.6% | 0.33 | 0.112 |
| P8 | 9800 | 3913 | -1974 | 0 | 0.2 | 0.026 | 1.14 | 389 | 1.35 | 1.35 | 0.46 | 488 | 693 | 389 | 1488 | | 45.5% | 29.5% | 0.26 | 0.119 |
| P9 | 1300 | -6165 | -13630 | 0 | 0.2 | 0.026 | -0.01 | 9 | 10.15 | 1.50 | 0.06 | 31 | 3 | 3 | 94 | | 2.9% | 1.9% | 0.03 | 0.001 |
| P10 | 2100 | 2237 | 2373 | 2373 | 0.2 | 0.026 | 0.40 | 227 | 6.29 | 1.50 | 0.42 | 113 | 38 | 38 | 87 | | 2.6% | 1.7% | 0.44 | 0.012 |
| P11 | 1200 | 1467 | 1733 | 1733 | 0.2 | 0.026 | 0.28 | 140 | 11.00 | 1.50 | 0.35 | 59 | 11 | 11 | 2 | | 0.1% | 0.0% | 5.25 | 0.003 |
| P12 | 1200 | 1410 | 1620 | 1620 | 0.2 | 0.026 | 0.25 | 127 | 11.00 | 1.50 | 0.29 | 54 | 10 | 10 | 9 | | 0.3% | 0.2% | 1.10 | 0.003 |
| P13 | 1200 | 536 | -129 | 0 | 0.2 | 0.026 | 0.88 | 51 | 11.00 | 1.50 | 0.39 | 63 | 12 | 12 | 19 | | 0.6% | 0.4% | 0.63 | 0.004 |
| P14 | 1200 | 1421 | 1641 | 1641 | 0.2 | 0.026 | 0.25 | 129 | 11.00 | 1.50 | 0.30 | 55 | 10 | 10 | 6 | | 0.2% | 0.1% | 1.73 | 0.003 |
| P15 | 1200 | 1350 | 1500 | 1500 | 0.2 | 0.026 | 0.23 | 117 | 11.00 | 1.50 | 0.26 | 52 | 9 | 9 | 6 | | 0.2% | 0.1% | 1.38 | 0.003 |
| P16 | 2100 | -3820 | -9739 | 0 | 0.2 | 0.026 | -0.04 | 19 | 6.29 | 1.50 | 0.08 | 55 | 10 | 10 | 134 | | 4.1% | 2.7% | 0.07 | 0.003 |

R3 global= 0.477

- Tronson 4, directia Y seism pozitiv

| PERETI DIRECTIA Y INCVOIOIRE - SEISM POZITIV | | | | | | | | | | | |
| --- | --- | --- | --- | --- | --- | --- | --- | --- | --- | --- | --- |
| hw | bw | Perete | Ned | fd | Azc | lw | lcw | yze | Mrd | Med | % K | Mrd/Med |
| [mm] | [mm] | | [KN] | [N/mm^2] | [mm^2] | [mm] | [mm] | [mm] | [KNm] | [KNm] | | |

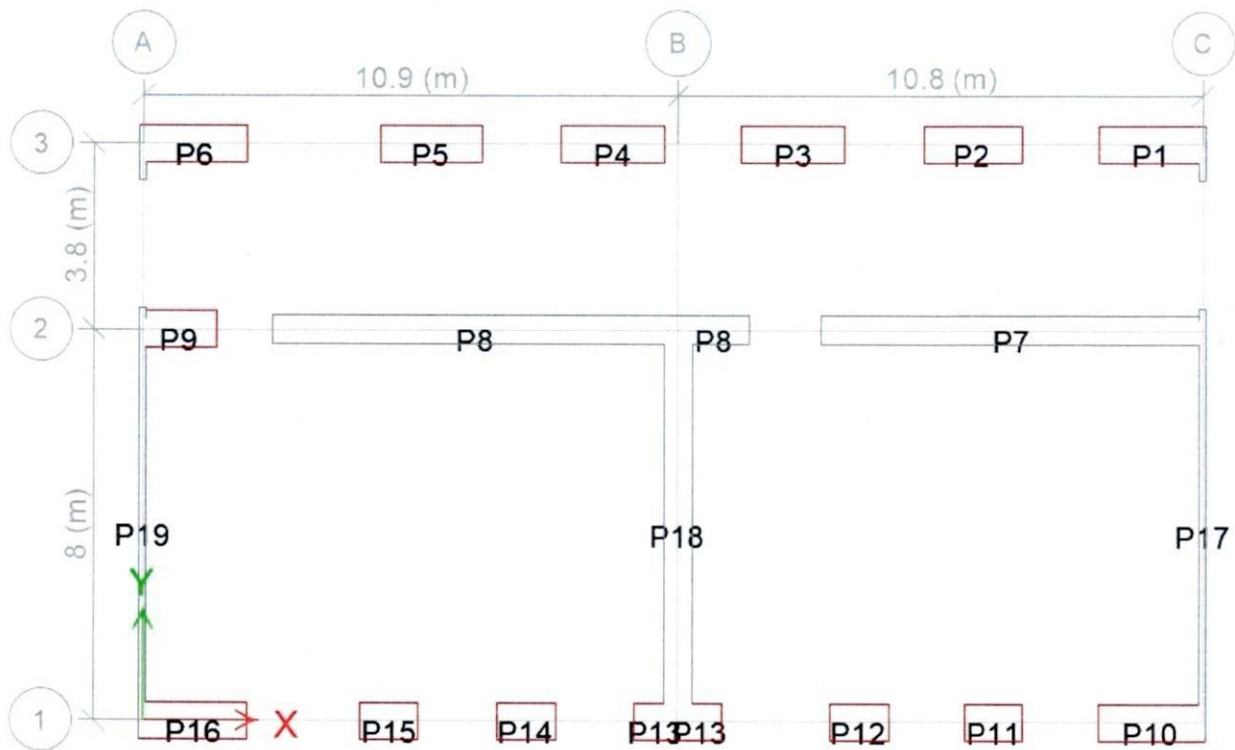
<tbl_r cells="1

- Tronson 4, directia Y seism negativ

| PERETI DIRECTIA Y INCOCOIERE - SEISM NEGATIV | | | | | | | | | | | | |
|--|------------|--------|-------------|----------------|---------------|------------|-------------|-------------|--------------|--------------|-------|---------|
| hw [mm] | bw [mm] | Perete | Ned [KN] | fd [N/mm^2] | Azc [mm^2] | lw [mm] | lcw [mm] | yzc [mm] | Mrd [KNm] | Med [KNm] | % K | Mrd/Med |
| 13200 | 600 | P_T2 | 1684 | 1.73 | 1145248 | 8500 | 1909 | 3296 | 5550 | 3529 | 25.3% | 1.57 |

| VERIFICARE FORTA TAIETOARE -DIRECTIA Y SEISM NEGATIV | | | | | | | | | | | | | | | | | | | |
|--|------------|------------|-----------------|---------------|------------------|------------------|------------|--------------|------|------|------------|--------------|-------------|------------|-------------|--------------|----------------|--------------|--------|
| Perete | lw [mm] | lc [mm] | lad.e f [mm] | lad.c [mm] | fVKo [N/mm^2] | fVtd [N/mm^2] | σd [KN] | V121 [KN] | h/lw | b | σo [KN] | V122 [KN] | VII [KN] | Vf [KN] | Ved [KN] | VRd2 [KN] | % K zidarie | % K total | Vf/Ved |
| P18 | 8500 | 6463 | 4426 | 4426 | 0.2 | 0.026 | 0.43 | 534 | 1.55 | 1.50 | 0.33 | 327 | 423 | 327 | 820 | | 21.1% | 16.2% | 0.40 |

- Legenda pentru identificarea peretilor dupa eticheta – tronson 4



Au rezultat indicatori R3 pentru tronsoanele analizate:

| Tronson | R3 |
|---------|---------|
| 1 | 65%-89% |
| 2 | 35% |
| 3 | 45% |
| 4 | 35% |
| 5 | 65%-89% |

Implementarea solutiei de consolidare

Solutia de consolidare propusă pentru tronsoanele analizate care au fost incadrate in clasa de risc seismic RsII si care necesita masuri de consolidare este cămășuirea anumitor pereți de zidărie, cu un strat de 8 cm de mortar M100T, in care vor fi înglobate plase de armătură SPPB de diametru Φ8 la pas de 100/100 mm. In functie de varianta de consolidare care se implementeaza, camasuirea se face pe o singura fata (varianta minimală) sau pe ambele fete (varianta maximală).

V_{Rd} se va considera doar capacitatea data de camasuirea cu beton armat și anume V_{cam} :

$$V_{Rd} = V_{cam, UNDE} \quad V_{cam} = (0.8 * A_{sh} + 0.2 * A_{sv}) * f_{yd}$$

A_{sh} – aria de armatură orizontală intersectată de o fisură la 45° ;

A_{sv} – aria de armatură verticală intersectată de o fisură la 45° .

$$A_{sh} = \frac{h}{s_h} \cdot \frac{\Phi_h^2 \cdot \pi}{4} - \text{aria de armatură orizontală};$$

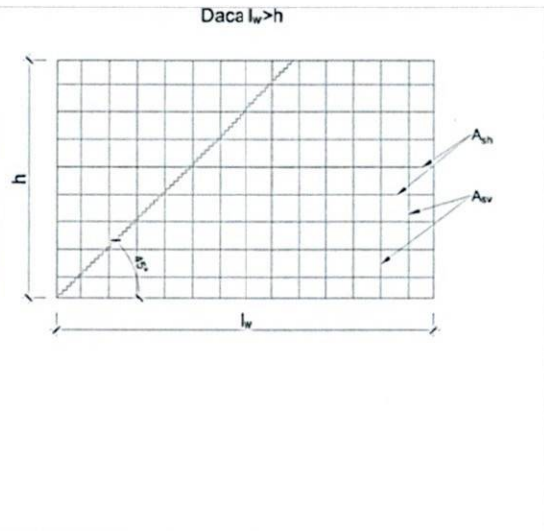
$$A_{sv} = \frac{h}{s_v} \cdot \frac{\Phi_v^2 \cdot \pi}{4} - \text{aria de armatură verticală};$$

s_h - pasul armăturilor orizontale;

s_v - pasul armăturilor verticale;

Φ_h - diametrul barelor orizontale;

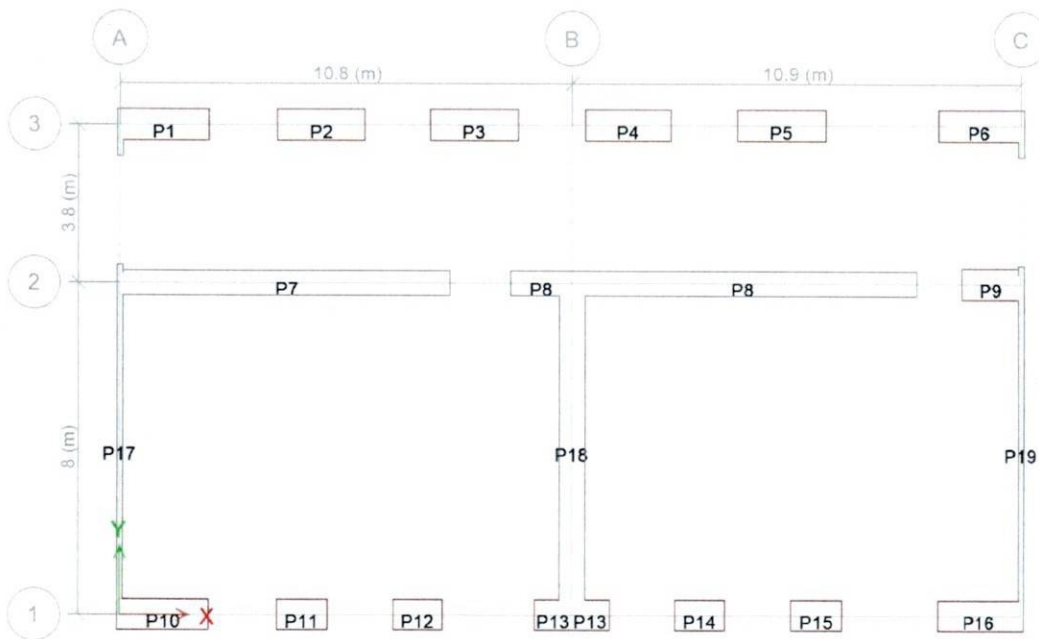
Φ_v - diametrul barelor verticale;



Pereti propusi spre a fi consolidati

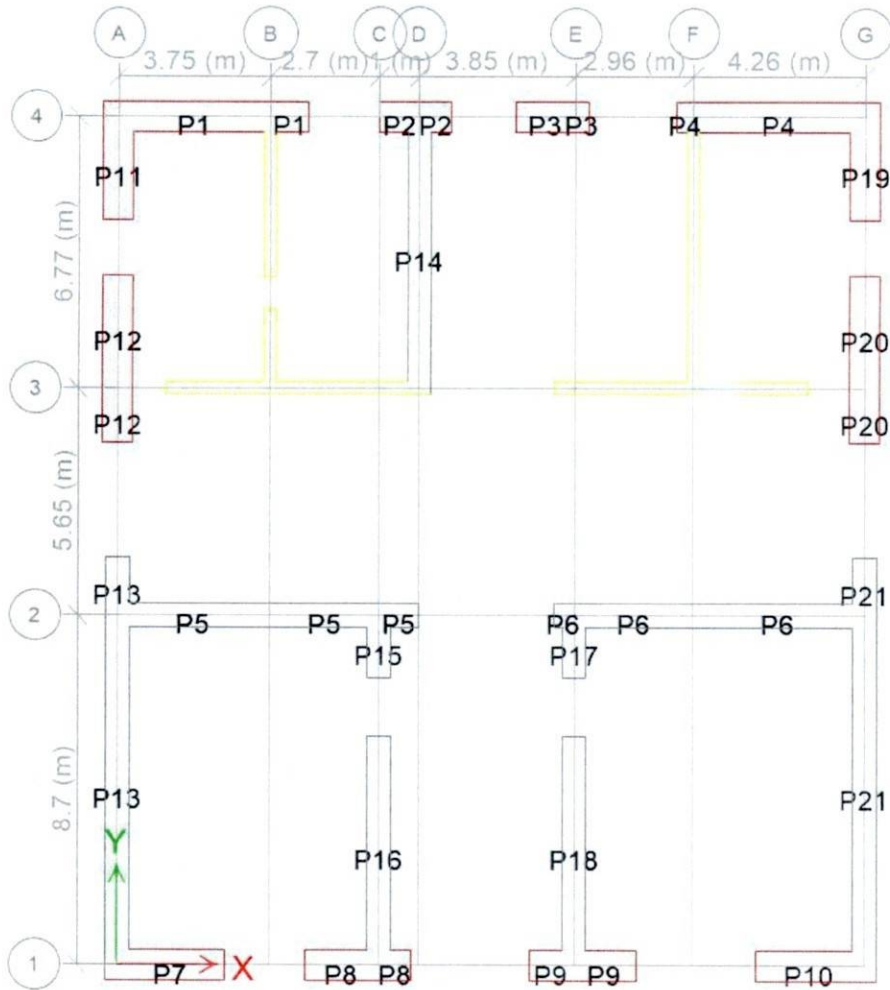
- Tronson 2:

- În varianta minimală: P7, P8, P18 – pe ambele parti
- În varianta maximală: P7, P8, P18 – pe ambele parti, respectiv P1, P2, P3, P4, P5, P6, P10, P11, P12, P13, P14, P15, P16 – pe fața interioară



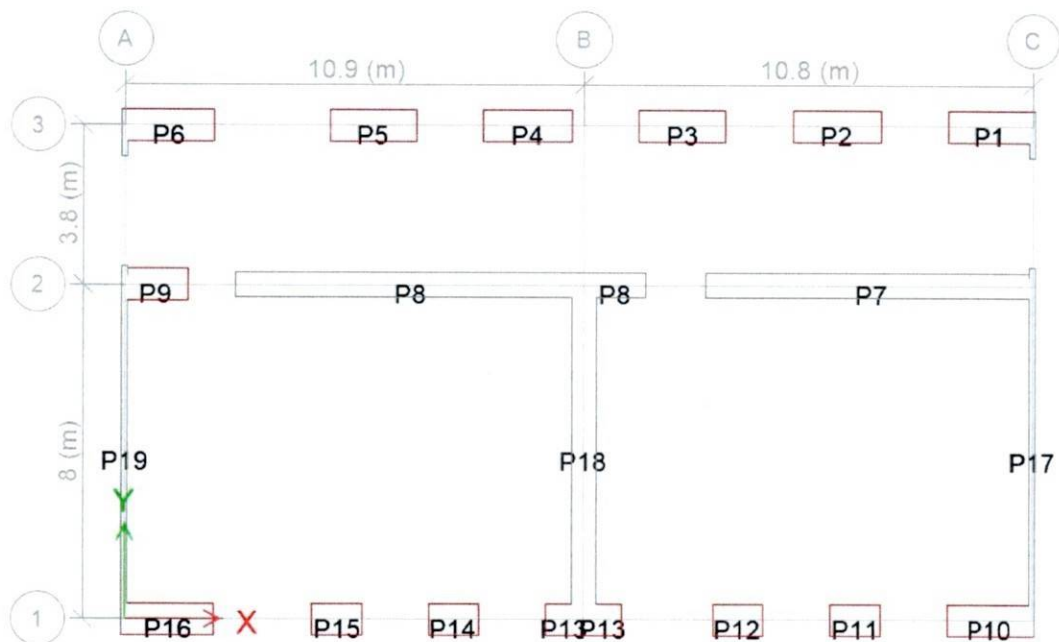
- Tronson 3:

- În varianta minimală: P5, P6, P14, P15, P16, P17, P18 – pe ambele parti
- În varianta maximală: P5, P6, P14, P15, P16, P17, P18 – pe ambele parti, respectiv P1, P2, P3, P4, P7, P8, P9, P10, P11, P12, P13, P19, P20, P21 – pe fața interioară



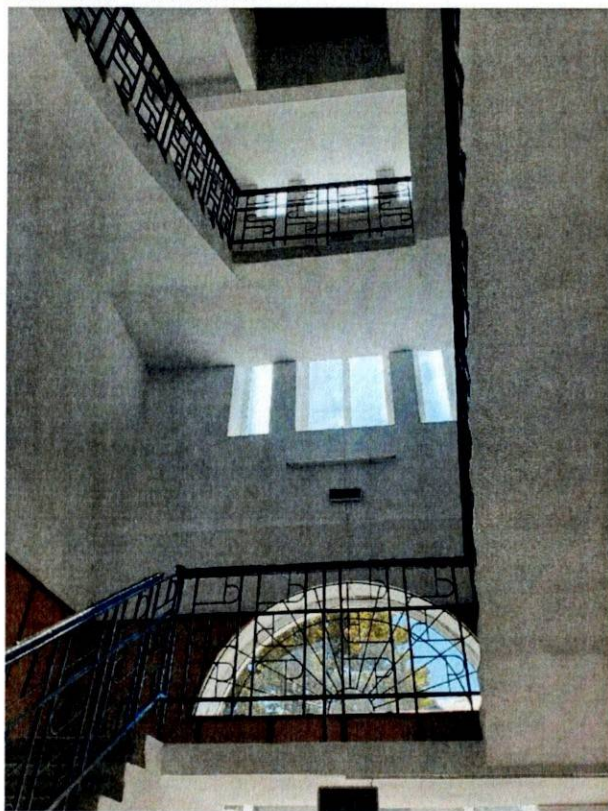
- Tronson 4:

- In varianta minima: P7, P8, P18 – pe ambele parti
- In varianta maxima: P7, P8, P18 – pe ambele parti, respectiv P1, P2, P3, P4, P5, P6, P10, P11, P12, P13, P14, P15, P16 – pe fata interioara



14. ANEXA B - DOCUMENTAR FOTO

Casa scarii – tronsonul 1



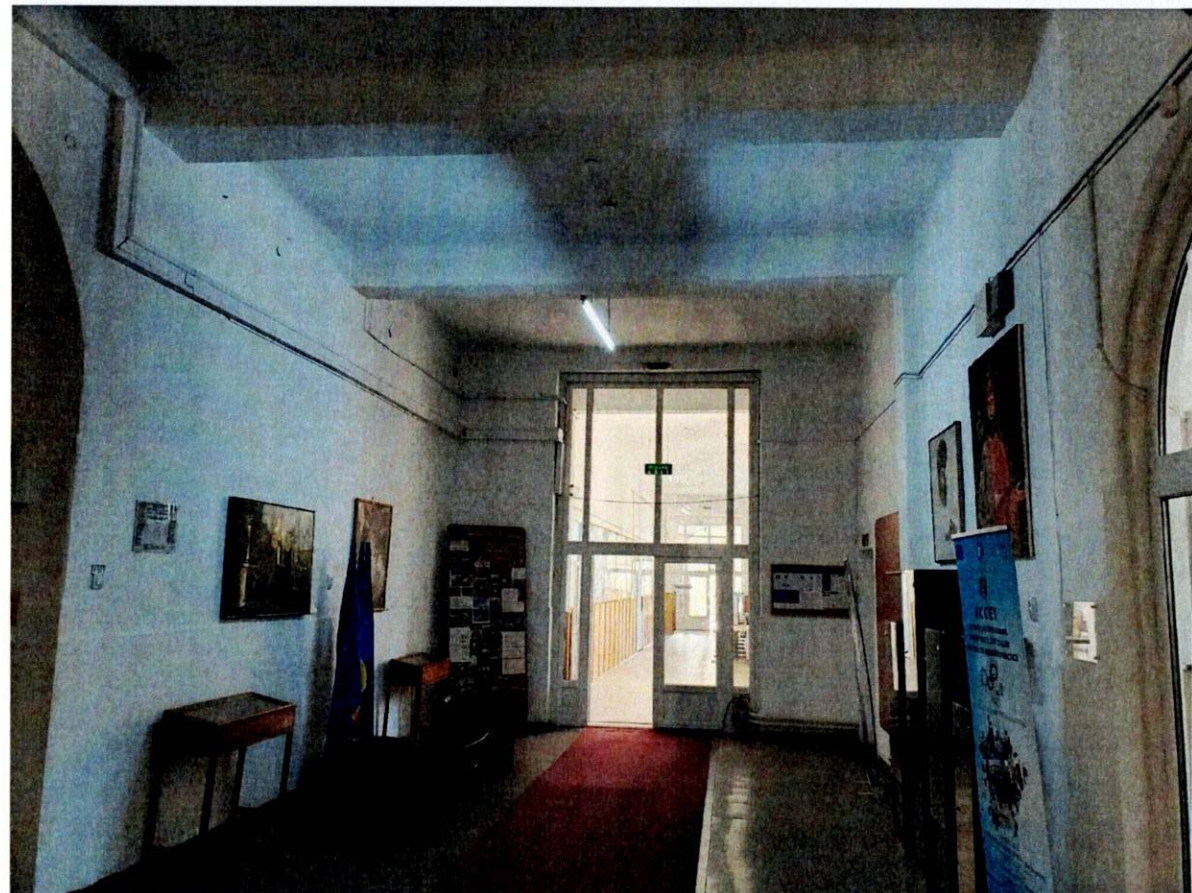
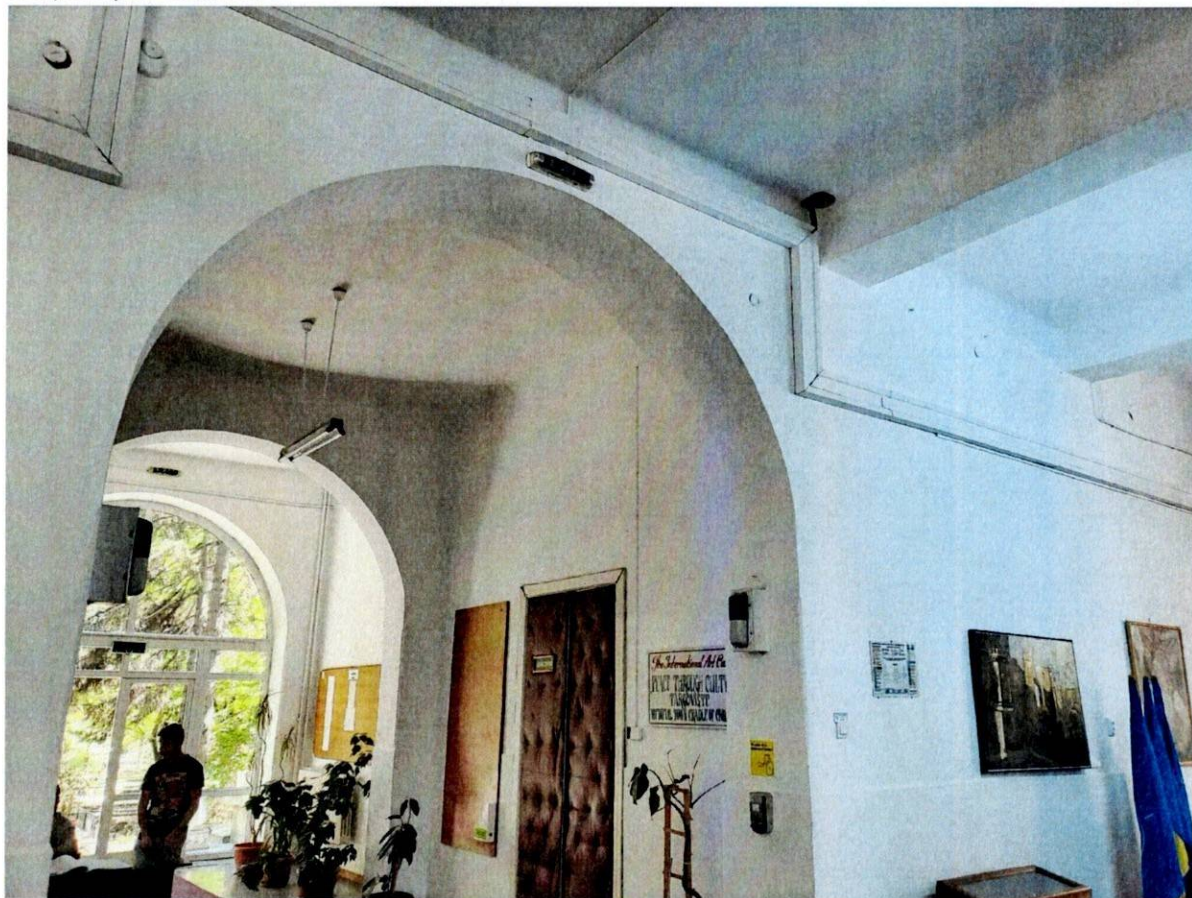
Coridor de circulatie – tronsonul 2



Rost vertical intre tronsoane



Hol principal – tronson 3

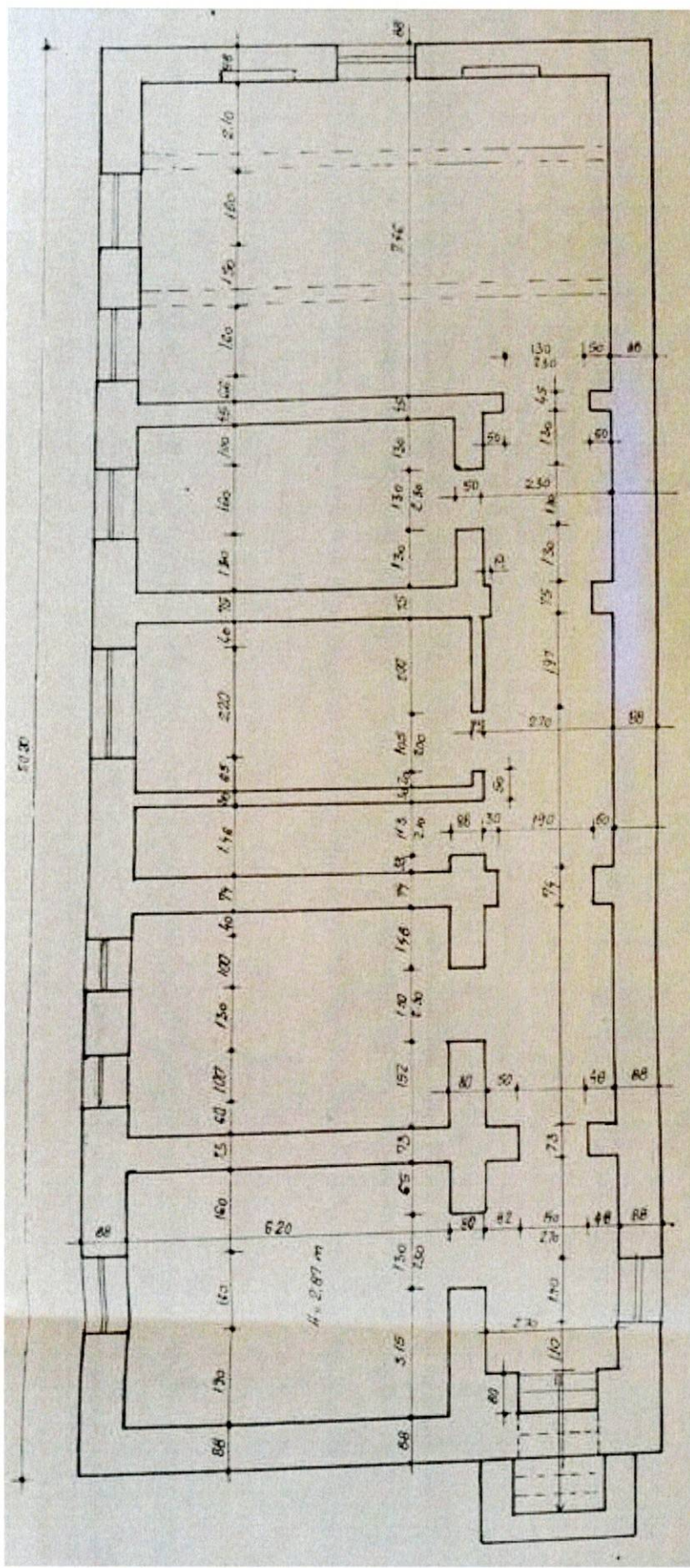


Exteriorul clădirii

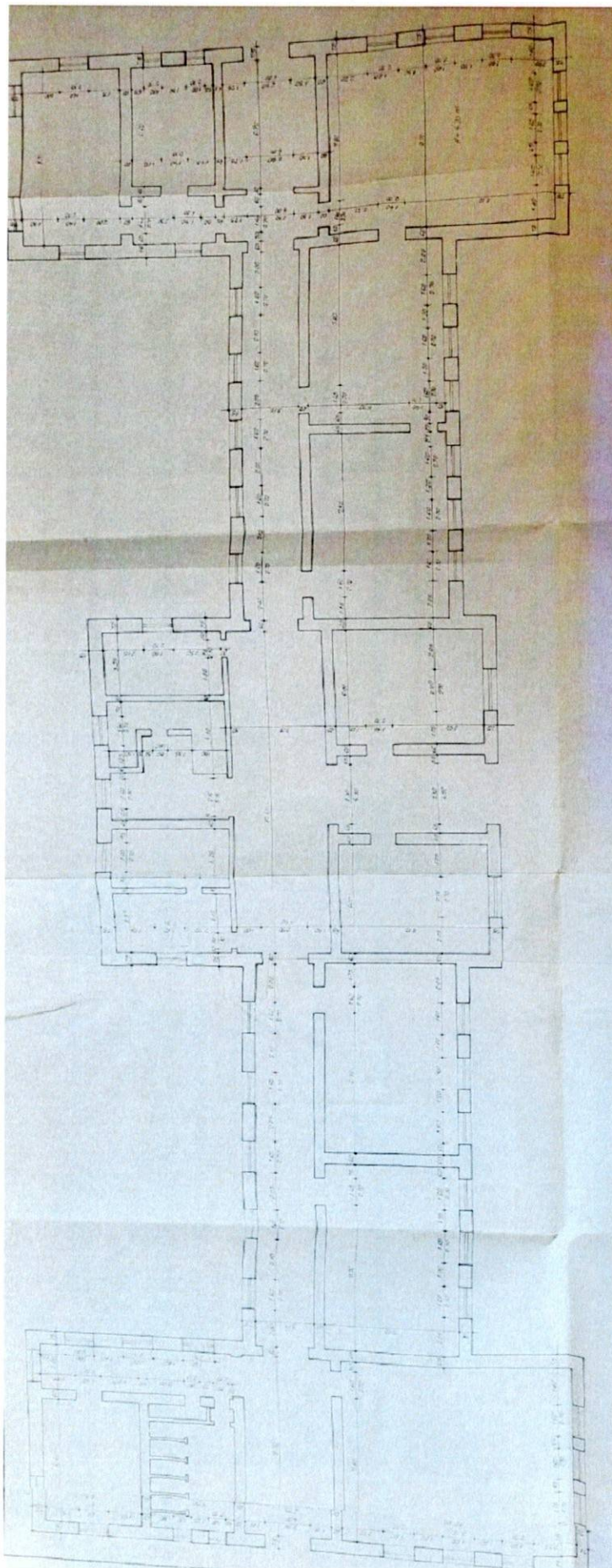


15. ANEXA C - RELEVEE

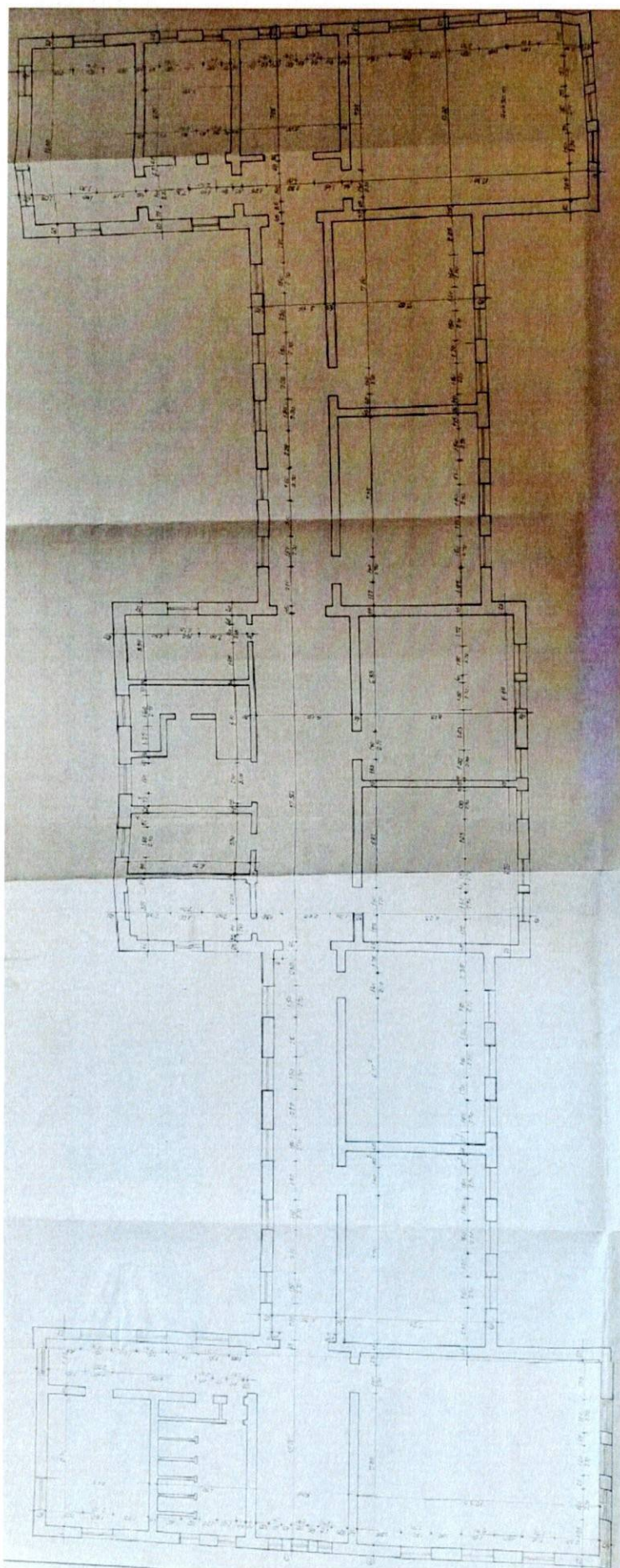
Plan Subsol



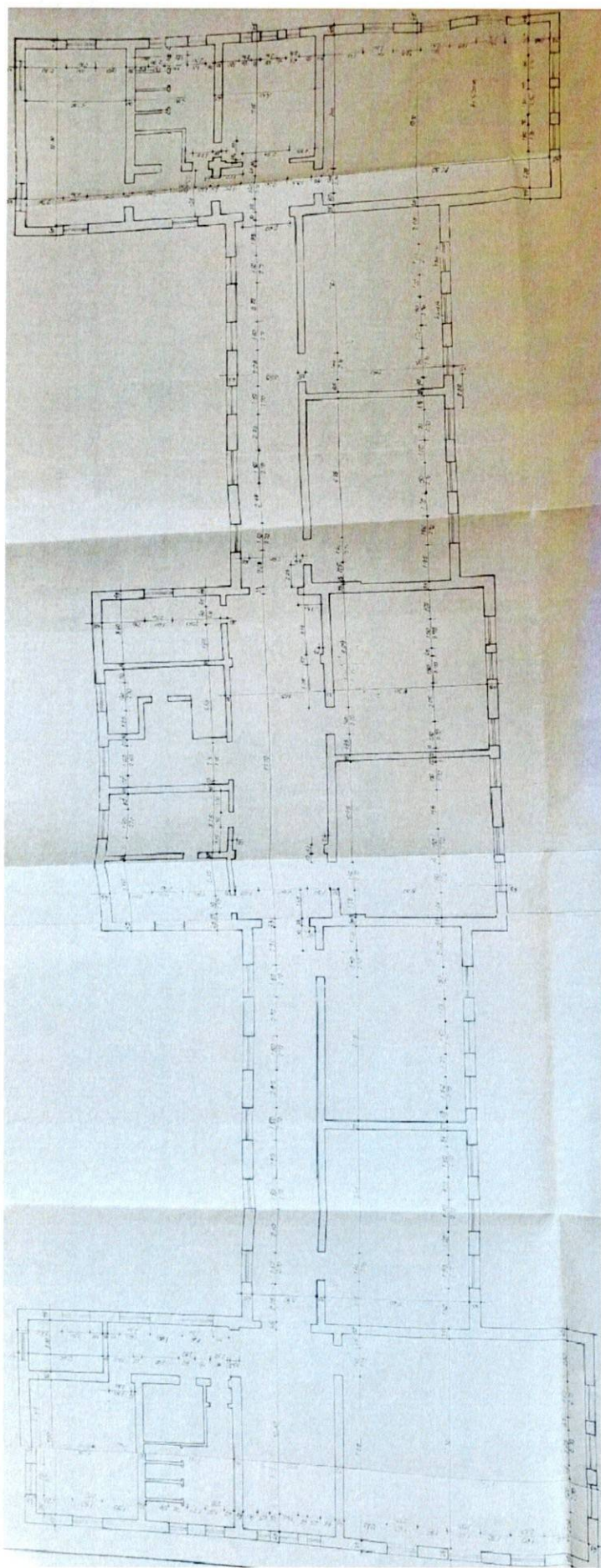
Plan Parter



Plan Etaj 1



Plan Etaj 2



16. ANEXA D – RAPORT DE DEZVELIRI LA FUNDATII

